

ارایه مدلی واریانس مبنا برای نرمال سازی دمای سطح بدست آمده از تصاویر ماهواره‌ای نسبت به پارامترهای محیطی

محمد کریمی فیروزجائی^۱، مجید کیاورز^{۲*}، سید کاظم علوی پناه^۲، سعید حمزه^۴، یوان مالبتنا^۵

- ۱- دانشجوی دکتری گروه سنجش از دور و سیستم اطلاعات جغرافیایی دانشگاه تهران
- ۲- استادیار گروه سنجش از دور و سیستم اطلاعات جغرافیایی دانشگاه تهران
- ۳- استاد گروه سنجش از دور و سیستم اطلاعات جغرافیایی دانشگاه تهران
- ۴- دانشیار گروه سنجش از دور و سیستم اطلاعات جغرافیایی دانشگاه تهران
- ۵- محقق پسادکتری مرکز تحقیقات آب دانشگاه ملک عبدالله عربستان سعودی

تاریخ دریافت مقاله: ۱۳۹۶/۰۴/۲۶ تاریخ پذیرش مقاله: ۱۳۹۷/۰۱/۲۷

چکیده

نرمال سازی دمای سطح نسبت به عوامل محیطی از اهمیت بالایی در مطالعات علمی و تصمیمات مدیریتی مناطق شهری و غیرشهری برخوردار است. هدف از این پژوهش، ارائه مدلی واریانس مبنا برای نرمال سازی دمای سطح نسبت به پارامترهای محیطی می باشد. برای این منظور از باندهای ماهواره لندست ۸، محصول بخار آب مودیس و مدل رقومی ارتفاع استر استفاده شده است. در این پژوهش مجموعه عوامل توپوگرافی، تابش ورودی به سطح، آلبیدو، نرخ افت محیطی، پوشش گیاهی و مجموعه خصوصیات بیوفیزیکی سطح به عنوان پارامترهای محیطی در نظر گرفته شده است. برای محاسبه دمای سطح از الگوریتم تک کاناله استفاده و برای مدل سازی تابش ورودی به سطح مدل کولبو بهبود یافته ارائه شده است. همچنین برای مدل سازی آلبیدو سطح، از ترکیب باندهای انعکاسی لندست ۸، نرخ افت محیطی از مدل رقومی ارتفاع و خصوصیات بیوفیزیکی از ترکیب های باندی تسلدکپ استفاده شده است. در نهایت برای محاسبه ضرایب مجهول مربوط به هر یک از پارامترها در مدل ارائه شده برای نرمال سازی دمای سطح با شرط مینیم شدن واریانس مقادیر دمای سطح نرمال شده، از مدل سرشکنی کمترین مربعات استفاده شده است. برای ارزیابی دقت نتایج مدل ارائه شده شاخص های ضریب همبستگی و خطای مجذور میانگین مربعات بین مقادیر دمای سطح مدل شده، مشاهده شده و اندازه گیری شده زمینی و واریانس مقادیر دمای سطح نرمال شده بکار گرفته شده است. نتایج حاصل از پژوهش نشان دهنده این است که برای محدوده مورد مطالعه، پارامتر تابش ورودی به سطح، بیشترین و پارامترهای ارتفاع و سبزیگی، کمترین تاثیر را بر مقدار و چگونگی توزیع دمای سطح دارند. مقدار ضریب همبستگی و خطای جذر میانگین مربعات بین دمای سطح مدل شده و دمای سطح مشاهده شده منطقه اول به ترتیب برابر با ۰/۹۷ و ۱/۵۳ و واریانس مقادیر دمای سطح نرمال شده ۰/۷۹ می باشد. همچنین نتایج حاصل از پژوهش، کارایی بالای مدل ارائه شده را برای نرمال سازی دمای سطح نسبت به پارامترهای محیطی نشان می دهد.

کلیدواژه‌ها: نرمال سازی، دمای سطح زمین، پارامترهای محیطی، واریانس مبنا.

۱- مقدمه

پدیده‌ها و عوارض گوناگون، با توجه به شرایط مختلف، از خود انرژی تابشی گسیل می‌نمایند. دمای سطح زمین^۱ (*LST*) به دلیل نشان دادن میزان تشعشعات ساطع شده از سطح و زیرسطح زمین و تبادل انرژی بین سطح زمین و اتمسفر، اهمیت بسیار دارد. در سال‌های اخیر با توسعه علم سنجش از دور حرارتی، محاسبه‌ی دمای سطح زمین برای یک منطقه وسیع، با قدرت تفکیک مکانی و زمانی نسبتاً مناسب ممکن شده است. *LST* بدست آمده از سنجش از دور حرارتی، در مطالعات متعدد از جمله منابع زمینی و زیرزمینی [۱ و ۲]، پایش پدیده‌های محیطی [۳]، مطالعات بیلان انرژی [۴]، ساختار زمین‌شناسی [۵]، تغییرات اقلیم و پدیده‌های شهری [۶، ۷ و ۸]، وضعیت تبخیر و تعرق، رطوبت خاک و مدیریت منابع آب [۹ و ۱۰] و شناسایی پدیده‌های مختلف [۱۱ و ۱۲] از اهمیت بالایی برخوردار است. دمای سطح پدیده‌ها و عوارض مختلف در شرایط طبیعی و محیطی آزاد، بسته به مجموعه شرایط محیطی همچون موقعیت زمانی (ساعت در شبانه روز و روز در سال)، موقعیت جغرافیایی (طول و عرض جغرافیایی)، توپوگرافی (ارتفاع، شیب و جهت شیب و سایه)، ویژگی‌های حرارتی ذاتی (اینرسی حرارتی و ضریب گسیلندگی)، خصوصیات بیوفیزیکی (رطوبت، سبزی‌نگی، روشنائی، آلبیدو و تبخیر و تعرق)، پارامترهایی سینوپتیک و اقلیمی (باد، بخار آب موجود در جو و فشار هوا) و شرایط زیرسطحی (مناطق ژئوترمال، هیدروترمال، گسل و آتشفشان) متفاوت است [۱۳، ۱۴ و ۱۵]. نرمال‌سازی دمای سطح نسبت به عوامل محیطی در بسیاری از مطالعات علمی و تصمیمات مدیریتی دقیق همچون بحث شناسایی منابع ژئوترمال، پایش روند تغییرات فعالیت گسل‌ها و آتشفشان‌ها، روند تغییرات انومالی‌های حرارتی و ارتباط آن با زمین‌لرزه در محیط غیرشهری و مدیریت و

برنامه‌ریزی مصرف منابع انرژی در محیط شهری از اهمیت بالایی برخوردار است [۱۳، ۱۶، ۱۷، ۱۸ و ۱۹]. از جمله مهم‌ترین پارامترهای موثر بر *LST*، انرژی رسیده به سطح می‌باشد. برای شبیه‌سازی دقیق *LST* و در نهایت نرمال‌سازی آن، باید تابش ورودی خورشیدی در مقیاس پیکسل محاسبه شود [۱۷]. تابش ورودی برای یک منطقه، مجموعی از تابش مستقیم و غیرمستقیم خورشید و تابش مستقیم و غیرمستقیم بازتاب شده از مناطق همسایه می‌باشد [۲۰]. تابش ورودی به مجموعه عوامل از جمله میزان ابرناکی آسمان، شرایط و پارامترهای اتمسفری، زمان در شبانه‌روز و سال، عرض و طول جغرافیایی، آلبیدو سطح مناطق همسایه و شرایط توپوگرافی سطح و مناطق همسایه بستگی دارد [۲۱]. برآورد مقدار و نحوه توزیع تابش ورودی خورشید برای مناطق کوهستانی با توجه به شرایط هندسی و توپوگرافی ناهمگن و انعکاس‌های متعدد که در چنین شرایطی رخ می‌دهد چالش برانگیز است. تغییرات محسوس عوامل توپوگرافی از جمله شیب، جهت شیب می‌تواند منجر به تغییرات قابل ملاحظه‌ای در زاویه فرود موج و در نتیجه توزیع ناهمگن تابش ورودی خورشید در این مناطق شود [۱۵ و ۱۷]. باتوجه به زاویه فرود محلی تابش خورشیدی، در مناطق کوهستانی *LST* بین جهت شیب جنوب و شمال می‌تواند تا ۳۰ درجه متغیر باشد [۲۲]. از دیگر پارامترهای موثر بر تغییرات *LST*، اثر نرخ افت محیطی^۲ (*ELR*) می‌باشد. اثر *ELR* بیانگر این است که در یک تروپسفر با زمان و موقعیت ثابت، افزایش ارتفاع از سطح آب‌های آزاد، سبب کاهش فشار هوا می‌شود؛ این عمل به‌صورت بی‌دررو انجام گرفته، در نتیجه انرژی داخلی هوا کاهش یافته و دمای هوا پایین می‌آید [۲۳]. به صورت نظری و تئوری، مقدار *ELR* در شرایط بی‌دررو خشک، در حدود ۹/۸ درجه در هر کیلومتر، در شرایط بی‌دررو نیمه‌خشک، در ارتفاع پایین‌تر از ۱۰ کیلومتری

² Environmental Lapse Rate (*ELR*)¹ Land Surface Temperature

کیلومتر استفاده شد که این مقدار برای مناطق مختلف ثابت نبوده و باید برای هر منطقه به صورت خاص محاسبه شود [۲۸]. پیترس^۴ و همکاران (۲۰۱۲) در پژوهشی برای ارزیابی وضعیت تبخیر و تعرق منطقه، از خصوصیات فضای ویژگی بین دو پارامتر *LST* و شاخص پوشش گیاهی^۵ (*VI*) استفاده کرده‌اند. نتایج تحقیق نشان داد که استفاده از مدل فضای ویژگی *LST-VI* برای بررسی وضعیت تبخیر و تعرق در مناطق با توپوگرافی خشن دارای پیچیدگی‌های خاصی است و نتایج مدل از دقت لازم برخوردار نیست. به همین دلیل باید دمای سطح نسبت به شرایط ارتفاعی منطقه نرمال شود. در این تحقیق از مدل رگرسیونی خطی طبقه‌بندی شده برای بررسی ارتباط بین دمای سطح و ارتفاع منطقه استفاده شد [۲۹]. کولبو^۶ و همکاران طی تحقیقی در سال ۲۰۰۷ شناسایی آنومولی‌های حرارتی سطح را با استفاده از تصاویر روز و شب رادیومتر پیشرفته فضا برد بازتابی و گسیل گرمایی^۷ (*ASTER*) بررسی کردند. به این منظور، در این پژوهش، دمای سطح حاصل از تصاویر حرارتی نسبت به اثرات توپوگرافی، آلبیدو، ضریب گسیلندگی و اینرسی حرارتی نرمال شد. وجه تمایز این مطالعه نسبت به مطالعات گذشته، نرمال سازی اثر اینرسی حرارتی با استفاده از تصویر حرارتی روز و شب می‌باشد. همچنین در این مطالعه با توجه به اینکه مقادیر باندهای انعکاسی در مناطق کوهستانی، تحت تاثیر شرایط توپوگرافی قرار می‌گیرد، آلبیدو حاصل از باندهای انعکاسی با توجه به پارامتر زاویه فرود محلی تصحیح شد. در این پژوهش برای نرمال سازی *LST* از پارامترهای مختلف از معادله بیلان انرژی استفاده شده است. با فرض این که در مناطق خشک و بیابانی، تاثیر پارامترهای شار گرمایی

اتمسفر، در حدود ۶-۷ درجه در هر کیلومتر و در شرایط بی‌درو مرطوب در حدود ۳/۶ درجه در هر کیلومتر در نظر گرفته می‌شود [۲۴، ۲۵ و ۲۶]. ولی در عمل مقدار این پارامتر برای هر منطقه باید به صورت مجزا با توجه به شرایط منطقه محاسبه شود. پارامترهای دیگر از جمله خصوصیات اینرسی حرارتی، ضریب گسیلندگی، خصوصیات بیوفیزیکی و شرایط جوی و سینوپتیک نیز با تاثیر بر توازن انرژی بین سطح، زیرسطح و اتمسفر از جمله عوامل موثر بر مقدار و نحوه توزیع *LST* در یک منطقه می‌باشند.

۱-۱- پیشینه تحقیق

هیس و کورا^۱ در سال ۲۰۰۹، *LST* را برای یک منطقه با پوشش گیاهی متراکم با استفاده از رابطه رگرسیون خطی، با توجه به پارامترهای ارتفاع و سایه روشن^۲ مدل سازی کردند. برای ارزیابی دقت مدل از پارامتر ضریب همبستگی بین دمای سطح مشاهده شده و مدل شده استفاده شد و ضریب همبستگی ۰/۴۹ - ۰/۴۷ بین دمای سطح مشاهده شده و مدل شده به دست آمد [۲۷]. دوزیر و اوتکالت^۳ در سال ۱۹۷۹، از معادلات بیلان انرژی برای شبیه سازی *LST* در مناطق کوهستانی استفاده کردند. در این مدل، مجموعه پارامترهای انرژی ورودی به سطح، آلبیدو، ضریب زبری سطح، سرعت باد، رطوبت نسبی هوا، فشار هوا، فشار بخار آب موجود در هوا در نظر گرفته شد. ولی این مدل برای مناطق ناهمگن از نظر پوشش گیاهی و رطوبت سطحی کارایی نداشت و فقط برای مناطق بایر و خشک مناسب بود. در این پژوهش برای مدل سازی انرژی ورودی خورشید، تابش مستقیم و غیرمستقیم بازتاب شده از مناطق همسایه لحاظ نشد. همچنین برای مدل سازی اثر *ELR*، از مقدار استاندارد ۶/۵ درجه سانتی گراد برای هر

⁶ Coolbaugh

⁷ Advanced Spaceborne Thermal Emission and Reflection Radiometer

¹ Hais and Kučera

² Hillshad

³ Dozier and Outcalt

⁴ Peters

⁵ Vegetation Index

تصویر نهایی مینیمم شود. نتایج پژوهش نشان دهنده این است که نقشه مظاهر سطحی حاصل از تصویر انومالی حرارتی نهایی ۶۲ درصد با نقشه واقعی مظاهر سطحی مطابقت دارد. مزیت مدل ارائه شده در این پژوهش نسبت به مدل‌های ارائه شده در گذشته، استفاده از مقادیر شاخص تفاضلی نرمال شده پوشش گیاهی^۳ (*NDVI*) برای وارد کردن تاثیر تبخیر و تعرق به مدل می‌باشد که این مدل را تا حدودی برای نرمال‌سازی *LST* مناطق ناهمگن از نظر پوشش گیاهی کارآمد می‌کند. همچنین در این مطالعه به منظور محاسبه همزمان ضرایب با شرط مینیمم کردن واریانس تصویر انومالی از روش سرشکنی کمترین مربعات استفاده شد که یک مسئله بهینه‌سازی چندمعیاره می‌باشد [۳۰].

با توجه بررسی مطالعات گذشته مشخص می‌شود که در مدل‌های ارائه شده برای نرمال‌سازی *LST*، بیشتر بر اثر خورشید و شرایط توپوگرافی تاکید شده است. اکثر مدل‌های ارائه شده برای مناطق بایر و خشک مناسب می‌باشند. در صورتی که علاوه بر اثر خورشید و شرایط توپوگرافی پارامترهای دیگری از جمله خصوصیات بیوفیزیکی بر دمای سطح تاثیرگذار هستند. با توجه به مطالب ذکر شده، هدف از مطالعه حاضر، ارائه مدلی جدید واریانس مبنا برای نرمال‌سازی دمای سطح نسبت به پارامترهای محیطی می‌باشد که علاوه بر بهبود مدل‌های موجود برای مدل‌سازی تاثیر عوامل خورشید و توپوگرافی تاثیر عوامل بیوفیزیکی بر دمای سطح را نیز در نظر می‌گیرد.

۲- مواد و روش

در ادامه داده‌ها و روش تحقیق تشریح شده است.

۲-۱- داده‌ها

در مطالعه‌ی حاضر از باندهای انعکاسی و حرارتی تصویر ماهواره‌ای لندست ۸، مدل رقومی ارتفاع سنجنده استر

محسوس و نهان بر *LST* بسیار ناچیز است، در مدل پیشنهادی در این پژوهش این دو پارامتر لحاظ نشده است. بنابراین برای مناطق با تغییرات مکانی خصوصیات بیوفیزیکی، مدل پیشنهادی ناکارآمد می‌باشد [۱۸]. مالبتو^۱ و همکاران در سال ۲۰۱۷ برای نرمال‌سازی دمای سطح نسبت به پارامترهای توپوگرافی سه مدل معادلات بیلان انرژی بر اساس خاک و گیاه، رگرسیون چندگانه و شیب لبه خشک را پیشنهاد دادند. برای مدل‌سازی پارامتر تابش ورودی خورشید برای منطقه کوهستانی مدنظر در این پژوهش از مدل انتقال تابش ناهمگرای گسسته^۲ (*DART*) استفاده شد. این مدل برای محاسبه مقدار انرژی ورودی به سطح، تابش مستقیم و غیرمستقیم خورشید و تابش مستقیم و غیرمستقیم بازتاب شده از مناطق همسایه را در نظر می‌گیرد. در مدل بیلان انرژی برای نرمال‌سازی دمای سطح، دو پارامتر شار گرمایی محسوس و نهان که معمولاً در مطالعات گذشته در این زمینه به دلیل پیچیدگی مدل، نادیده گرفته می‌شد لحاظ شده است. نتایج پژوهش نشان‌دهنده این است که مدل معادلات بیلان انرژی به دلیل در نظر گرفتن دو کسر پوشش خاک و پوشش گیاهی، شرایط دمای هوا، فشار هوا، ضریب زبری سطح و در نظر گرفتن شار گرمایی محسوس و نهان نسبت به روش‌های رگرسیون چندگانه و شیب لبه خشک برای نرمال کردن دمای سطح نسبت به عوامل توپوگرافی کارآمدتر است [۱۷]. کیاورز در سال ۲۰۱۷ برای تهیه نقشه و کمی‌سازی مظاهر حرارتی سطحی مثل چشمه‌های آب گرم، گاز فشان‌ها و نقاط آتش‌فشانی تصویر حرارتی را نسبت به تاثیر خورشید، آلبیدو، *ELR* و تبخیر و تعرق نرمال کرد. مدل ارائه شده در این مطالعه، یک مدل خطی می‌باشد که ضرایب مدل مذکور با استفاده از روش سرشکنی کمترین مربعات، طوری محاسبه می‌شوند که واریانس

¹ Malbêteau

² Discrete Anisotropic Radiative Transfer

³ Normalized Difference Vegetation Index

گسیلندگی، *LST*، آلبیدو سطح و خصوصیات بیوفیزیکی سطح الزامی است. برای دستیابی به این هدف، باید اثر اتمسفر، هندسه دید سنجنده و اثر توپوگرافی برای باندهای اپتیک و حرارتی در نظر گرفته شود. به دلیل مدل سازی اثرات توپوگرافی برای باندهای انعکاسی و حرارتی در مراحل بعد، از تصحیح توپوگرافی در این مرحله صرف نظر شد. همچنین با در نظر گرفتن اثر انرژی غیرمستقیم خورشید و ضریب عبور اتمسفری در مدل سازی انرژی رسیده به سطح در این مرحله از تصحیح اتمسفری باند حرارتی صرف نظر شده است. برای تصحیح اتمسفری باندهای انعکاسی لندست ۸ از مدل تصحیح اتمسفری *FLAASH*^۵ استفاده شده است. این مدل تصحیح اتمسفری از پایگاه داده مدل های انتقال تابش *MODTRAN*^۶ برای تصحیح اتمسفری استفاده می کند [۳۱]. تصاویر لندست با خطای کمتر از ۱۲ متر زمین مرجع در سایت زمین شناسی آمریکا در دسترس می باشد [۳۲، ۳۳]. با این حال، مطابقت هندسی داده های مختلف مورد استفاده در پژوهش با توجه به اینکه از منابع مختلف تهیه شده اند؛ از اهمیت زیادی برخوردار است. برای این منظور از روش تصحیح هندسی ثبت تصویر به نقشه توپوگرافی برای تطبیق باندهای انعکاسی و حرارتی لندست ۸ و مدل رقومی ارتفاع استر استفاده شد.

۲-۲-۲-۲- مدل سازی پارامترهای محیطی

در ادامه مراحل مدل سازی پارامترهای محیطی آورده شده است.

۲-۲-۲-۱- مدل سازی اثر انرژی خورشید و

توپوگرافی

برای مدل سازی اثر خورشید و توپوگرافی باید مقدار انرژی ورودی به سطح، شامل تابش مستقیم و غیرمستقیم خورشید و تابش مستقیم و غیرمستقیم

با قدرت تفکیک مکانی ۳۰ متر و محصول بخار آب *MOD07* سنجنده *MODIS*^۱ با قدرت تفکیک مکانی ۵۰۰۰ متر برای تاریخ ۲۰۱۵/۰۹/۲۸ منطقه اول و تاریخ ۲۰۱۴/۰۸/۱۲ برای منطقه دوم استفاده شده است. این لایه های اطلاعاتی زمین مرجع شده و در سیستم جهانی مرکاتور معکوس^۲ (*UTM*) برای منطقه اول در ناحیه *N39* و برای منطقه دوم در ناحیه *N29* قرار دارند. داده های مذکور در سایت زمین شناسی آمریکا^۳ و سایت ناسا^۴ در دسترس می باشند. نقشه های شیب و جهت شیب مورد استفاده در پژوهش با استفاده از مدل رقومی ارتفاع استر بدست آمده است.

برای ارزیابی دقت دمای سطح مدل شده، از مجموعه داده های زمینی ثبت شده توسط دستگاه های ثبت دمای خاک، در لحظه گذر ماهواره در منطقه دوم استفاده شد. مدل دستگاه های ثبت دما مورد استفاده در پژوهش حاضر، *DS1921G* بود. این دستگاه دمای خاک در بازه ۳۰- تا ۷۰ درجه سانتی گراد را با دقت ۱ درجه سانتی گراد ثبت می کنند. ۴۵ عدد از این دستگاه ها برای پروژه *MIXMOD-E (ANR-13-JS06-0003-01)* و *REC (RISE-2014-645642-REC)* در سال ۲۰۱۴ در عمق ۱ سانتی متری خاک منطقه دوم قرار گرفت و دمای خاک به طور پیوسته به مدت ۶ ماه ثبت شد. چهار عدد از دستگاه ها در این بازه زمانی از کار افتادند و در نهایت از داده های ثبت شده توسط ۴۱ دستگاه استفاده شد.

۲-۲-۲- روش تحقیق

در ادامه مراحل روش تحقیق تشریح شده است.

۲-۲-۱- پیش پردازش

انجام تصحیحات رادیومتریکی باندهای مختلف تصویر ماهواره ای قبل از محاسبه و استخراج پارامترهای مختلف نظیر انرژی طیفی انعکاسی-حرارتی، ضریب

⁵ Fast Line-of-sight Atmospheric Analysis of Hypercubes

⁶ Moderate resolution atmospheric Transmission

¹ Moderate-resolution Imaging Spectroradiometer

² Universal Transverse Mercator

³ <http://www.usgs.gov>

⁴ <https://ladsweb.nascom.nasa.gov>

۲-۲-۱-۱- زاویه انحراف زمین و زاویه ساعتی
زاویه بین محور چرخش زمین و خط عمود بر صفحه
مداری زمین یا صفحه‌ی دایره البروج، زاویه انحراف
زمین نامیده شده و با توجه به روابط (۱) و (۲) محاسبه
می‌شود [۲۱، ۳۴].

$$\delta = 0.006918 - 0.399912 \cos(N) + 0.070257 \sin(N) - 0.006758 \cos(2N) + 0.000907 \sin(2N) - 0.002697 \cos(3N) + 0.00148 \sin(3N) \quad \text{رابطه (۱)}$$

$$N = 2\pi \left(\frac{n-1}{365} \right) \quad \text{رابطه (۲)}$$

ساعت در طول صبح و ۱۵- درجه برای هر یک ساعت
بعد از ظهر می‌باشد. زاویه ساعتی با توجه به روابط (۳)
تا (۶) [۲۱ و ۳۴] محاسبه شده است.

$$w = 15(12 - ST)$$

$$ST = LT + \frac{ET}{60} + \frac{4}{60}(L_S - L_L) \quad \text{رابطه (۴)}$$

$$ET = 9.87 \sin(2B) - 7.53 \cos(B) - 1.5 \cos(B) \quad \text{رابطه (۵)}$$

$$B = 360(n-81)/365 \quad \text{رابطه (۶)}$$

بر سطح ژئوئید زاویه زینتی و به زاویه‌ی بین راستای
تابش خورشید و راستای نرمال بر سطح منطقه زاویه
فرود محلی می‌گویند. زاویه زینتی تابع پارامترهای
موقعیت جغرافیایی، موقعیت زمانی و زاویه انحراف
زمین و زاویه فرود محلی علاوه بر پارامترهای فوق تابع
شرایط توپوگرافی منطقه نیز می‌باشند [۲۱ و ۳۴].
زاویه زینتی و فرود محلی تابش خورشید به ترتیب با
استفاده از روابط (۷) و (۸) محاسبه می‌شود.

$$\cos(\alpha) = \cos(\delta) \cos(\varphi) \cos(w) + \sin(\delta) \cos(\varphi) \quad \text{رابطه (۷)}$$

$$\begin{aligned} \cos(\theta) &= \sin(\delta) \sin(\varphi) \cos(\beta) - \sin(\delta) \cos(\varphi) \\ \sin(\beta) \cos(\gamma) &+ \cos(\delta) \cos(\varphi) \cos(\beta) \cos(w) \\ &+ \cos(\delta) \sin(\varphi) \sin(\beta) \cos(\gamma) \cos(w) \\ &+ \cos(\delta) \sin(\varphi) \sin(\beta) \sin(w) \end{aligned} \quad \text{رابطه (۸)}$$

بازتاب شده از مناطق همسایه با توجه به موقعیت
جغرافیایی، موقعیت زمانی و شرایط توپوگرافی محاسبه
شود. برای این منظور ابتدا مدل‌سازی پارامترهای
همچون زاویه انحراف زمین، زاویه ساعتی خورشید،
زاویه زینتی و زاویه فرود محلی تابش خورشید، فاصله
نسبی زمین تا خورشید و ضریب عبور اتمسفری ضروری
می‌باشد.

در روابط فوق، n روز در سال میلادی می‌باشد.
مفهوم زاویه ساعتی، توصیف چرخش زمین به دور
محور قطبی آن است که معادل ۱۵+ درجه در هر یک
رابطه (۳)

در روابط فوق، n روز در سال میلادی، ST زمان محلی
خورشید، LT زمان استاندارد محلی، L_S طول جغرافیایی
مرکز قاچ زمان محلی (برحسب درجه)، L_L طول
جغرافیایی محلی (برحسب درجه) و ET تصحیح فصلی
برای زمان خورشید (برحسب ساعت) می‌باشند.

۲-۲-۱-۲- زاویه زینتی و زاویه فرود محلی
تابش خورشید

به زاویه‌ی بین راستای تابش خورشید و راستای نرمال

$$dr = 1 + 0.033 \cos\left(\frac{360n}{365}\right) \quad \text{رابطه (۹)}$$

در رابطه (۹)، dr نشان دهنده فاصله نسبی زمین تا خورشید و n نشان دهنده پارامتر روز در سال میلادی است.

۲-۲-۱-۴- ضریب عبور اتمسفری

برای محاسبه ضریب عبور اتمسفری تابش مستقیم خورشید از رابطه (۱۰) تا (۱۳) استفاده می شود [۳۵].

$$\tau_b = a_0 + a_1 e^{\left(\frac{-k}{\cos(\alpha)}\right)} \quad \text{رابطه (۱۰)}$$

$$a_0 = r_0 \left(0.4237 - 0.00821(6-h)^2\right) \quad \text{رابطه (۱۱)}$$

$$a_1 = r_1 \left(0.5055 - 0.00595(6.5-h)^2\right) \quad \text{رابطه (۱۲)}$$

$$k = r_k \left(0.2711 - 0.01858(2.5-h)^2\right) \quad \text{رابطه (۱۳)}$$

ضرایب r_0 ، r_1 و r_k ضرایبی هستند که با توجه به شرایط اقلیمی مطابق با جدول (۱) تعیین می شوند [۳۵].

جدول ۱: مقادیر ضرایب r_0 ، r_1 و r_k با توجه به شرایط اقلیمی

شرایط اقلیمی	r_0	r_1	r_k
گرمسیری	۰٫۹۵	۰٫۹۸	۱٫۰۲
نیمه گرمسیری	۰٫۹۷	۰٫۹۹	۱٫۰۲
سردسیری	۰٫۹۹	۰٫۹۹	۱٫۰۱
نیمه سردسیری	۱٫۰۳	۱٫۰۱	۱٫۰

زمین می باشد که به صورت رابطه (۱۵) محاسبه می شود [۳۵ و ۳۴، ۲۱].

$$G_{Bn} = G_{sc} \tau_b dr \quad \text{رابطه (۱۵)}$$

در رابطه (۱۵)، G_{Bn} تابش مستقیم خورشید، τ_b ضریب عبور اتمسفری برای تابش مستقیم خورشید، dr فاصله نسبی بین زمین و خورشید و G_{sc} ثابت خورشیدی)

$$\frac{W}{m^2} \quad (۱۳۶۷) \quad \text{می باشند.}$$

که در روابط فوق، δ میزان انحراف زمین، ϕ عرض جغرافیایی و w زاویه ساعتی، β بیانگر شیب و α زاویه آزیموت سطح همگی بر حسب رادیان می باشند.

۲-۲-۱-۳- فاصله نسبی زمین تا خورشید

فاصله نسبی زمین تا خورشید تابعی از پارامتر روز در سال بوده و در طول یک سال تغییر می کند. این پارامتر بر مقدار انرژی رسیده از طرف خورشید به سطح تاثیر می گذارد. برای محاسبه آن از رابطه (۹) استفاده می شود [۲۱ و ۳۴].

در روابط فوق، τ_b ضریب عبور اتمسفری برای تابش مستقیم خورشید، α زاویه زینتی تابش خورشید، h ارتفاع منطقه از سطح آب های آزاد به کیلومتر و هریک از

ضریب عبور اتمسفری برای تابش غیرمستقیم خورشید تابعی از τ_b می باشد که به صورت رابطه (۱۴) محاسبه می شود [۳۵].

$$\tau_d = 0.271 - 0.294 \tau_b \quad \text{رابطه (۱۴)}$$

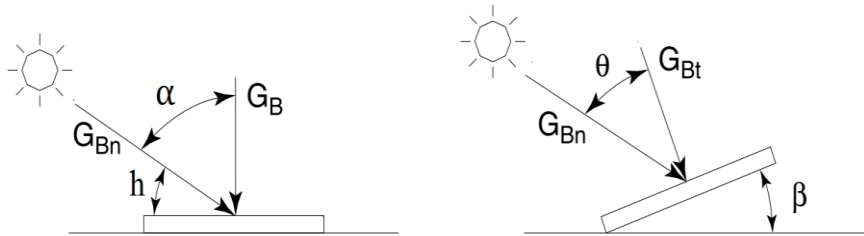
در رابطه (۱۴)، τ_d ضریب عبور اتمسفری برای تابش غیرمستقیم خورشید می باشد.

۲-۲-۱-۵- تابش مستقیم خورشید

تابش مستقیم خورشید تابعی از پارامترهای ثابت خورشیدی، ضریب عبور اتمسفری و فاصله نسبی از

۲-۲-۱-۵-۱- تابش مستقیم خورشید بر سطح افقی و شیب‌دار

تابش مستقیم خورشید بر سطح افقی و سطح شیب‌دار به صورت شکل (۱) نشان داده شده است.



شکل ۱: تابش مستقیم خورشید بر سطح افقی و سطح شیب‌دار

رابطه (۱۹) $G_{Bt} = G_B R_b$

۲-۲-۱-۷- تابش غیرمستقیم خورشید

برای محاسبه تابش غیرمستقیم خورشید از رابطه (۲۰) استفاده می‌شود [۲۱، ۳۴ و ۳۵].

رابطه (۲۰) $G_R = G_{sc} \tau_d dr$

در رابطه (۲۰)، G_R تابش غیرمستقیم خورشید، τ_d ضریب عبور اتمسفری برای تابش غیرمستقیم خورشید، dr فاصله نسبی بین زمین و خورشید و G_{sc} ثابت خورشیدی $(\frac{w}{m^2} 1367)$ می‌باشند.

۲-۲-۱-۷-۱- تابش غیرمستقیم خورشید بر سطح افقی و شیب‌دار

در حالت ایزوتروپیک برای محاسبه تابش غیرمستقیم خورشید بر سطح افقی و شیب‌دار به ترتیب از رابطه (۲۱) و (۲۲) استفاده می‌شود [۲۱، ۳۴ و ۳۵].

رابطه (۲۱) $G_D = \int_0^{\pi} 2G_R \cos(\alpha) d\alpha = 2G_R$

رابطه (۲۲) $G_{Dt} = \int_0^{\frac{\pi}{2}-\beta} G_R \cos(\alpha) d\alpha + \int_0^{\frac{\pi}{2}} G_R \cos(\alpha) d\alpha = G_D \left(\frac{1 + \cos(\beta)}{2} \right)$

برای حالت غیر ایزوتروپیک برای محاسبه تابش غیرمستقیم خورشید بر هر سطح دلخواه از رابطه (۲۳) و (۲۴) استفاده می‌شود [۲۱، ۳۴ و ۳۵].

با توجه به شکل (۱) تابش مستقیم خورشید بر سطح افقی و شیب‌دار به ترتیب با رابطه (۱۶) و (۱۷) محاسبه می‌شود.

رابطه (۱۶) $G_B = G_{Bn} \cos(\alpha)$

رابطه (۱۷) $G_{Bt} = G_{Bn} \cos(\theta)$

که در رابطه‌های فوق، G_{Bt} تابش مستقیم خورشید برای سطح شیب‌دار، G_B تابش مستقیم خورشید برای سطح افقی، G_{Bn} کل تابش مستقیم خورشید، θ زاویه فرود محلی و α زاویه زینت خورشید می‌باشند [۲۱، ۳۴ و ۳۵].

که با توجه به رابطه‌های فوق فاکتور تبدیل تابش مایل به مستقیم خورشید (R_b) با استفاده از رابطه (۱۸) و تابش مستقیم خورشید بر هر سطح با شرایط توپوگرافی دلخواه به ترتیب به صورت رابطه (۱۹) محاسبه می‌شود [۲۱، ۳۴ و ۳۵].

رابطه (۱۸) $R_b = \frac{G_{Bt}}{G_B} = \frac{\cos(\theta)}{\cos(\alpha)}$

که در رابطه‌های فوق، G_D تابش غیرمستقیم خورشید برای سطح افقی، G_{Dt} تابش مستقیم خورشید برای سطح شیب‌دار، G_R کل تابش غیرمستقیم خورشید، α زاویه زینت خورشید و β شیب سطح می‌باشند.

$$G_{Dt} = G_D \left(\frac{1 + \cos(\beta)}{2} \right) \left[1 + F' \sin\left(\frac{\beta}{2}\right) \right] \left[1 + F' \cos(\beta) \sin^3(\alpha) \right] \quad \text{رابطه (۲۳)}$$

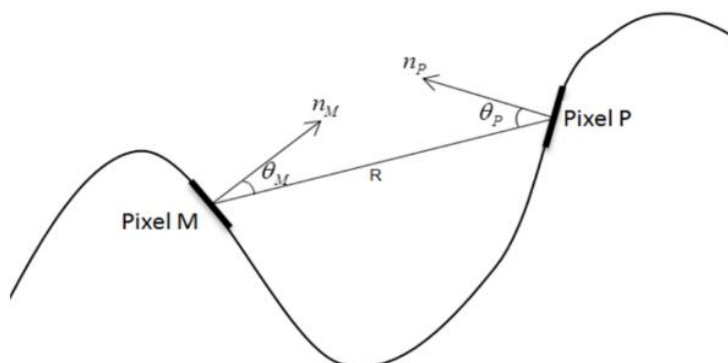
$$F' = 1 - \left(\frac{G_D}{G_B + G_D} \right)^2 \quad \text{رابطه (۲۴)}$$

۲-۲-۱-۸- تابش مستقیم و غیرمستقیم

بازتاب شده از مناطق همسایه

تابش مستقیم و غیرمستقیم بازتاب شده از مناطق همسایه با توجه به شکل (۲) از رابطه (۲۵) محاسبه می شود [۳۶، ۳۷ و ۳۸].

که در رابطه های فوق، G_{Dt} تابش مستقیم خورشید برای سطح شیب دار، G_B و G_D به ترتیب تابش مستقیم و غیرمستقیم خورشید برای سطح افقی، F' شاخص شفافیت، α زاویه زینت خورشید و β شیب سطح می باشند.



شکل ۲: تابش مستقیم و غیرمستقیم بازتاب شده از مناطق همسایه

$$G_{Gt} = \sum_{i=1}^N \frac{\cos(T_M) \cos(T_P) ds_M ds_P}{R^2} (G_{DtP} + G_{BtP}) \quad \text{رابطه (۲۵)}$$

۲-۲-۱-۱۰- مدل کولبو بهبود یافته

برای مدل سازی اثر توپوگرافی و انرژی رسیده بر دمای سطح دو رویکرد اصلی وجود دارد. رویکرد اول در نظر گرفتن اثر انرژی رسیده به صورت آبی در لحظه ثبت دمای سطح توسط سنجنده بر دمای سطح می باشد. رویکرد دوم در نظر گرفتن توام انرژی رسیده به صورت آبی و اثر انرژی رسیده در زمان های قبل تر بر دمای سطح می باشد. این پژوهش بر اساس رویکرد دوم اثر انرژی خورشید و توپوگرافی را بر دمای سطح مدل سازی میکند. برای مدل سازی انرژی رسیده به سطح موثر بر دمای سطح مدل بهبود یافته کولبو ارائه شده است. کولبو و همکاران در سال ۲۰۰۷ مدلی پیشنهاد دادند که میزان

در رابطه (۲۵)، G_{Gt} تابش مستقیم و غیرمستقیم بازتاب شده از مناطق همسایه، N تعداد پیکسل ها در نظر گرفته شده به عنوان همسایگی (معمولا شعاع ۱۰۰۰-۵۰۰ متری)، T_P و T_M زاویه بین نرمال بر سطح و راستای اتصال دو پیکسل همسایه، ds_P و ds_M مساحت دو پیکسل M و P ، R فاصله افقی بین دو همسایه M و P ، G_{DtP} تابش غیرمستقیم خورشید برای پیکسل P و G_{BtP} تابش مستقیم خورشید برای پیکسل P می باشند.

۲-۲-۱-۹- تصحیح توپوگرافی باندهای انعکاسی

برای تصحیح اثرات توپوگرافی و سایه بر مقادیر باندهای انعکاسی، از روش توسعه یافته تصحیح کسینوسی ارائه شده در برخی پژوهش ها استفاده شده است [۳۹ و ۴۰].

طلوع تا غروب به صورت پیوسته از طرف خورشید انرژی دریافت می‌کند. به همین دلیل در مدل ارائه شده در این پژوهش میزان اثر خورشید در گرم کردن زمین به صورت جمعی پیوسته محاسبه می‌شود. همچنین در مدل کولبو فقط تابش مستقیم خورشید در نظر گرفته شده است ولی سطح زمین در هر لحظه تابش مستقیم و غیرمستقیم خورشید و تابش مستقیم و غیرمستقیم بازتاب شده از مناطق همسایه را دریافت می‌کند. در مدل کولبو بهبود یافته برای سطح هر سه منبع انرژی در نظر گرفته می‌شود. میزان اثر خورشید در گرم کردن زمین به صورت جمعی پیوسته از ساعت طلوع خورشید با استفاده از رابطه کولبو بهبود یافته به صورت رابطه (۲۷) محاسبه می‌شود.

$$Rg = S_0 \int_{t_1=\text{sunrise}}^{t_2} ((G_{Bt} + G_{Dt} + G_{Gt}))_t D_t dt \quad \text{رابطه (۲۷)}$$

چندانی نداشته باشد یکسان و تابعی از زاویه زینتی است. ولی برای منطقه با تغییرات زیاد پارامترهای توپوگرافی زاویه طلوع و غروب خورشید باید در سطح پیکسل محاسبه شود در این حالت زاویه طلوع و غروب خورشید تابعی از زاویه فرود محلی تابش خورشید می‌باشد. در لحظه طلوع و غروب خورشید کسینوس زاویه فرود محلی تابش خورشید برابر صفر خواهد شد. برای محاسبه زاویه طلوع و غروب خورشید برای منطقه کوهستانی از رابطه (۲۸) تا (۳۱) استفاده می‌شود [۴۱].

$$\sin(\text{sunrise, sunset}) = \frac{ac \pm b\sqrt{b^2 + c^2 - a^2}}{b^2 + c^2} \quad \text{رابطه (۲۸)}$$

$$a = \sin(\delta) \cos(\varphi) \sin(\beta) \cos(\gamma) - \sin(\delta) \sin(\varphi) \cos(\beta) \quad \text{رابطه (۲۹)}$$

$$b = \cos(\delta) \cos(\varphi) \cos(\beta) + \cos(\delta) \sin(\varphi) \cos(\beta) \cos(\gamma) \quad \text{رابطه (۳۰)}$$

$$c = \cos(\delta) \sin(\beta) \sin(\gamma) \quad \text{رابطه (۳۱)}$$

۲-۲-۲-۲ مدل سازی اثر ELR بر دمای سطح

اثر ELR بیانگر این است که در یک تروپسفر، زمان و موقعیت ثابت، افزایش ارتفاع از سطح آب‌های آزاد سبب کاهش فشار هوا می‌شود؛ این عمل به صورت بی‌درو انجام

اثر خورشید در گرم کردن زمین را به صورت جمعی گسسته از ساعت طلوع خورشید به صورت رابطه (۲۶) محاسبه می‌کند.

$$Rg = S_0 \sum_t (M(\alpha_t) \cos(\theta_t) D_t) dt \quad \text{رابطه (۲۶)}$$

در این رابطه، Rg کل انرژی ورودی خورشید در طول زمان، S_0 ثابت انرژی خورشیدی، $M(\alpha_t)$ ضریب عبور اتمسفری وابسته به زاویه زینتی خورشید در زمان t ، α زاویه زینتی خورشید، θ زاویه فرود محلی طول موج خورشید بر سطح، D_t فاکتور تاخیر و dt فاصله زمانی محاسبه انرژی خورشید می‌باشد که در مدل کولبو ۱ ساعت در نظر گرفته می‌شود. در مدل کولبو میزان اثر خورشید در گرم کردن زمین به صورت جمعی گسسته محاسبه می‌شود. در صورتی که سطح زمین از لحظه

که در این رابطه، Rg کل انرژی ورودی خورشید به صورت جمعی پیوسته از زمان طلوع خورشید، S_0 ثابت انرژی خورشیدی، $Sunrise$ زمان طلوع خورشید، t_2 زمان تصویر حرارتی، G_{Bt} تابش مستقیم خورشید، G_{Dt} تابش غیرمستقیم خورشید، G_{Gt} تابش مستقیم و غیرمستقیم بازتاب شده از مناطق همسایه و D_t فاکتور تاخیر [۱۹] مدل کولبو می‌باشد.

۲-۲-۱۱-۱-۲-۲ زمان طلوع خورشید

زمان طلوع و غروب خورشید برای منطقه مسطح ساده و برای کل منطقه اگر پارامتر عرض جغرافیایی تغییر

که در روابط فوق، $sunrise$ و $sunset$ زاویه طلوع و غروب خورشید برای هر پیکسل، δ میزان انحراف زمین، φ عرض جغرافیایی و w زاویه ساعتی، β بیانگر شیب و γ زاویه آزیموت پیکسل همگی بر حسب رادیان می‌باشند.

می‌کنند. اطلاعات مربوط به روشنایی، سبزیگی و رطوبت سه جز اصلی اطلاعات استخراج شده از پارامترهای *TCT* می‌باشند. اطلاعات روشنایی به نوعی درصد سطوح نفوذناپذیر شامل اراضی بایر و ساخته شده، اطلاعات سبزیگی مربوط به درصد پوشش گیاهی و اطلاعات رطوبت شامل خصوصیات عوارض مرتبط با آب، رطوبت خاک، گیاه و اراضی ساخته شده را نشان می‌دهند [۴۳ و ۴۲]. ماتریس ضرایب اختصاصی برای سنجنده‌های تصویربرداری مختلف متفاوت هستند که با تجزیه و تحلیل‌های آماری و تجربی به صورت مجزا برای سنجنده‌های مختلف محاسبه می‌شوند. ضرایب مربوط به *TCT* برای تصاویر لندست ۸ به صورت جدول (۲) نشان داده شده است [۴۲].

می‌شود در نتیجه انرژی داخلی هوا کاهش یافته و دمای هوا پایین می‌آید. این اثر بیشتر در شب مشهود است و در روز به دلیل وجود اثرات خورشید و توپوگرافی تحت تاثیر این پارامترها قرار می‌گیرد. مقدار این پارامتر باید با توجه به موقعیت زمانی و منطقه مورد مطالعه تعیین شود. به همین دلیل برای مدل سازی این اثر از *DEM* منطقه مورد مطالعه در مدل پیشنهادی استفاده می‌شود.

۲-۲-۳- خصوصیات بیوفیزیکی

در ادامه خصوصیات بیوفیزیکی تشریح شده است.

۲-۲-۳-۱- پارامترهای انتقال تسلدک^۱

پارامترهای *TCT* با یک ترکیب خطی از باندهای تصاویر و ماتریس ضرایب اختصاصی اطلاعات مفید و موثری از خصوصیات بیوفیزیکی سطح را از تصاویر اولیه استخراج

جدول ۲: ضرایب مربوط به *TCT* برای تصاویر لندست ۸

پارامترها	باند ۲	باند ۳	باند ۴	باند ۵	باند ۶	باند ۷
روشنایی	۰٫۳۰۲۹	۰٫۲۷۸۶	۰٫۴۷۳۳	۰٫۵۵۹۹	۰٫۵۰۸	۰٫۱۸۷۲
سبزیگی	-۰٫۲۹۴۱	-۰٫۲۴۳	-۰٫۵۴۲۴	۰٫۷۲۷۶	۰٫۰۷۱۳	-۰٫۱۶۰۸
رطوبت	۰٫۱۱۱۵	۰٫۱۹۷۳	۰٫۳۲۸۳	۰٫۳۴۰۷	-۰٫۷۱۱۷	-۰٫۴۵۵۹
مولفه چهارم	-۰٫۸۲۳۹	-۰٫۰۸۴۹	۰٫۱۰۵۶	۰٫۱۸۵۵	-۰٫۴۳۴۹	۰٫۸۰۸۵
مولفه پنجم	-۰٫۳۲۹۴	۰٫۰۵۵۷	۰٫۴۱۱۹	۰٫۰۵۷۵	-۰٫۰۲۵۹	۰٫۰۲۵۲

۲-۲-۳- محاسبه دمای سطح

برای محاسبه دمای سطح از اطلاعات باند حرارتی سنجنده *TIRS* استفاده می‌شود. ابتدا مقدار رقومی هر پیکسل به کمک مقادیر کالیبراسیون داده شده به انرژی طیفی ثبت شده در سنجنده تبدیل می‌شود [۴۴]. برای تبدیل مقدار رقومی هر پیکسل در تصاویر خام به انرژی طیفی ثبت شده در سنجنده برای تصاویر لندست ۸ از رابطه (۳۲) استفاده می‌شود.

$$L_{\lambda} = ML * Q_{cal} + AL \quad \text{رابطه (۳۲)}$$

برای محاسبه خصوصیات بیوفیزیکی سطح از باندهای انعکاسی تصحیح شده با استفاده از روش توسعه یافته تصحیح کسینوسی استفاده خواهد شد.

۲-۲-۳-۲- آلبیدو سطح

برای محاسبه آلبیدوی سطح از ترکیب خطی بر اساس باندهای انعکاسی استفاده می‌شود. ضرایب مربوط به هر یک از باندهای انعکاسی تصاویر لندست ۸ برای محاسبه آلبیدو با توجه به [۳۹ و ۴۰] در نظر گرفته شده است.

^۱ Tasseled Cap Transformatio (TCT)

محاسبه شود. برای این منظور از روش جیمز و سوپرینو استفاده شده است. در این روش توان تشعشی سطح زمین با استفاده آستانه‌گذاری بر $NDVI$ و کسر پوشش گیاهی به دست می‌آید. شاخص $NDVI$ از رابطه (۳۴) به دست می‌آید [۴۵ و ۴۶].

$$NDVI = \frac{\rho_{NIR} - \rho_{Red}}{\rho_{NIR} + \rho_{Red}} \quad \text{رابطه (۳۴)}$$

ρ_{Red} و ρ_{NIR} به ترتیب بازتاب زمینی تصحیح شده باندهای مادون قرمز نزدیک و قرمز می‌باشد. مقادیر این شاخص بین -۱ و +۱ می‌باشد. کسر پوشش گیاهی با استفاده از رابطه (۳۵) محاسبه می‌شود [۴۵ و ۴۶].

$$FVC = \left(\frac{NDVI - NDVI_s}{NDVI_v - NDVI_s} \right)^2 \quad \text{رابطه (۳۵)}$$

در این رابطه، $NDVI_v$ مربوط به پوشش گیاهی مترکم و $NDVI_s$ مربوط به خاک خشک است. با به دست آوردن کسر پوشش گیاهی، ضریب گسیلندگی برای باند ۱۰ لندست ۸ از رابطه (۳۶) استفاده می‌شود [۴۵ و ۴۶].

$$\text{IF } FVC=0 \quad \text{Then} \quad LSE=0.979-0.046\rho_{Red}$$

$$\text{IF } 0 < FVC \leq 1 \quad \text{Then} \quad LSE=0.971(1-FVC)+0.987FVC$$

$$\text{IF } NDVI < 0 \quad \text{Then} \quad LSE=0.991$$

دمای سطح، L_{sen} میزان انرژی ثبت شده در سنجنده برای باند حرارتی، ε میزان ضریب گسیلندگی مربوط به طول موج باند حرارتی مورد استفاده، γ و δ دو پارامتر وابسته به تابع پلانک هستند که به صورت رابطه (۳۸) و (۳۹) محاسبه می‌شود [۴۵ و ۴۶]. همچنین ψ_1 ، ψ_2 و ψ_3 توابع اتمسفری هستند که برای لندست ۸ برطبق رابطه (۴۰) محاسبه می‌شود [۴۵ و ۴۶].

$$LST = \gamma \left[\frac{1}{\varepsilon} (\psi_1 L_{sen} + \psi_2) + \psi_3 \right] + \delta \quad \text{رابطه (۳۷)}$$

$$\gamma = \frac{T_{sen}^2}{b_2 L_{sen}} \quad \text{رابطه (۳۸)}$$

$$\delta = -\gamma \times L_{sen} + T_{sen} \quad \text{رابطه (۳۹)}$$

در این رابطه، L_{λ} انرژی طیفی ثبت شده در سنجنده بر حسب $ML \cdot W/(m^2 \cdot sr \cdot \mu m)$ ضریب تبدیل ضربی، Q_{cal} ارزش پیکسل (DN) تصویر خام حرارتی، A_L ضریب تبدیل جمعی می‌باشد.

دمای درخشندگی ثبت شده در سنجنده با استفاده از رابطه (۳۳) محاسبه می‌شود [۴۴].

$$BT = \frac{K_2}{\ln \left(\frac{K_1}{L_{\lambda}} + 1 \right)} \quad \text{رابطه (۳۳)}$$

در این رابطه، BT دمای درخشندگی ثبت شده در سنجنده بر حسب کلونین (K)، L_{λ} انرژی طیفی ثبت شده در سنجنده بر حسب $(W/(m^2 \cdot sr \cdot \mu m))$ ضریب ثابت کالیبراسیون اول بر حسب $(W/(m^2 \cdot sr \cdot \mu m))$ ضریب ثابت کالیبراسیون دوم بر حسب کلونین می‌باشند.

توان تشعشی یکی از خواص مهم پدیده و مواد است. این پارامتر بیانگر، توانایی ساطع کردن انرژی یک جسم واقعی نسبت به جسم سیاه در دمای یکسان است. برای محاسبه دمای سطح زمین باید توان تشعشی سطح

در رابطه (۳۶)، ρ_{Red} بازتاب زمینی تصحیح شده باند قرمز و FVC کسر پوشش گیاهی می‌باشد. برای محاسبه دمای سطح منطقه از الگوریتم محاسبه دمای سطح تک‌کاناله استفاده شده است. این الگوریتم در مطالعات متعددی استفاده شده است [۴۵، ۴۶، ۴۷، ۴۸ و ۴۹]. رابطه کلی برای محاسبه دمای سطح با استفاده از این الگوریتم به صورت رابطه (۳۷) می‌باشد؛ که در آن LST

$$\begin{cases} \psi_1 = 0.04019W^2 + 0.02916W + 1.01523 \\ \psi_2 = 0.38333W^2 - 1.50294W - 0.20324 \\ \psi_3 = 0.00918W^2 + 1.36072W - 0.27514 \end{cases} \quad \text{رابطه (۴۰)}$$

استفاده مقادیر بیشینه و کمینه هر پارامتر بین صفر تا یک استانداردسازی خواهند شد.

۲-۲-۴- مدل پیشنهادی برای نرمال سازی دمای سطح

برای نرمال سازی دمای سطح از عوامل محیطی، مدل نشان داده شده در رابطه (۴۱) ارائه شده است.

$$\begin{aligned} LST_{\text{correct}} = & LST - (\overline{LST} + a_1 (\overline{Rg} - Rg)) + \\ & a_2 (\overline{Albedo} - Albedo) + a_3 (\overline{DEM} - DEM) \\ & + a_4 (\overline{FVC} - FVC) + a_5 (\overline{Brigtness} - Brigtness) \\ & + a_6 (\overline{Wetness} - Wetness) + a_7 (\overline{Greenness} - Greenness) \\ & + a_8 (\overline{Fourth} - Fourth) + a_9 (\overline{Fifth} - Fifth) \end{aligned} \quad \text{رابطه (۴۱)}$$

مجهول ابتدا وابستگی بین پارامترهای محیطی ورودی بررسی و پارامترهای که با یکدیگر همبستگی شدید داشته باشند از مدل حذف خواهند شد. در این حالت به ازای هر پیکسل، یک معادله نوشته می شود و با استفاده از روش سرشکنی کمترین مربعات ضرایب مجهول بدست خواهند آمد. روابط (۴۲)، (۴۳) و (۴۴) فرم سرشکنی کمترین مربعات را نشان می دهد.

در این رابطه ها، T_{sen} دمای درخشندگی ثبت شده در سنجنده، L_{sen} میزان انرژی ثبت شده در سنجنده برای باند حرارتی ۱۰، b_{λ} ضریب ثابتی است که برای باند ۱۰ لندست ۸ برابر با ۱۳۲۴ درجه کلون در نظر گرفته می شود. W میزان بخار آب موجود در اتمسفر که با استفاده از محصول بخار آب مودیس برای تاریخ مورد نظر بدست می آید. در نهایت برای هم مقیاس کردن همه پارامترهای محیطی بدست آمده از روابط قبلی با

به منظور محاسبه ضرایب با شرط مینیمم کردن واریانس تصویر دمای سطح تصحیح شده بهتر است همه ضرایب با هم حل شوند و در واقع یک مسئله بهینه سازی چند معیاره بوده که با روش سرشکنی کمترین مربعات می توان ضرایب را محاسبه کرد. با استفاده از این روش بکارگیری پارامترهای وابسته در مدل امکان پذیر می باشد. ولی بدلیل تاثیر منفی شرایط هم خطی شدید بین پارامترهای مستقل بر مقادیر بدست آمده ضرایب

$$B = LST = A.X \rightarrow (B - A.X) \rightarrow \min = \text{Least Square Adjustment} \quad \text{رابطه (۴۲)}$$

$$A = \begin{bmatrix} 1 & Rg_{1,1} & Albedo_{1,1} & DEM_{1,1} & FVC_{1,1} & Brigtness_{1,1} & Wetness_{1,1} & Greenness_{1,1} & Fourth_{1,1} & Fifth_{1,1} \\ \dots & \dots & \dots & \dots & \dots & \dots & \dots & \dots & \dots & \dots \\ 1 & Rg_{i,j} & Albedo_{i,j} & DEM_{i,j} & FVC_{i,j} & Brigtness_{i,j} & Wetness_{i,j} & Greenness_{i,j} & Fourth_{i,j} & Fifth_{i,j} \\ 1 & Rg_{n,m} & Albedo_{n,m} & DEM_{n,m} & FVC_{n,m} & Brigtness_{n,m} & Wetness_{n,m} & Greenness_{n,m} & Fourth_{n,m} & Fifth_{n,m} \end{bmatrix} \quad \text{رابطه (۴۳)}$$

$$X = [a_0 \ a_1 \ a_2 \ a_3 \ a_4 \ a_5 \ a_6 \ a_7 \ a_8 \ a_9] \quad \text{رابطه (۴۴)}$$

در نهایت با محاسبه ضرایب و قرارگیری در رابطه (۴۱) مقادیر دمای سطح تصحیح شده نسبت به عوامل محیطی حاصل می‌شود.

۲-۲-۵- شاخص‌های ارزیابی دقت مدل

دقت و کارایی خروجی نهایی مدل نرمال‌سازی دمای سطح به دقت و اعتمادپذیری نوع داده‌های انتخابی و مرحله جمع‌آوری داده‌ها، جامعیت و کامل بودن پارامترهای در نظر گرفته شده، مرحله پیش‌پردازش شامل تصحیح رادیومتریکی و هندسی، مرحله پردازش شامل انتخاب مدل‌های مورد نظر برای استخراج پارامترهای مختلف از داده‌های اولیه و کیفیت انجام مراحل مختلف پردازش و تعیین و بکارگیری پارامترهای جانبی وابسته می‌باشد. در پژوهش حاضر از معیارهای ضریب همبستگی و خطای مجذور میانگین مربعات^۱

۲-۲-۵-۱- معیار ضریب همبستگی

این شاخص میزان همبستگی بین مقادیر دمای سطح مشاهده شده و دمای سطح مدل شده را محاسبه می‌کند و در واقع نزدیکی دو تصویر را مورد بررسی قرار می‌دهد. هر چه ضریب همبستگی به یک نزدیک‌تر باشد، بیانگر شباهت بیشتر دمای سطح مشاهده شده و دمای سطح مدل شده و در نتیجه اعوجاج دمای سطح مدل شده از مشاهده شده کمتر می‌باشد. این شاخص با استفاده از رابطه (۴۵) می‌باشد.

$$R = \frac{2 \sum_{i,j=1,1}^{i,j=m,n} (LST_{i,j} - \overline{LST})(LST_model_{i,j} - \overline{LST_model})}{\sqrt{\sum_{i,j=1,1}^{i,j=m,n} (LST_{i,j} - \overline{LST})^2 \sum_{i,j=1,1}^{i,j=m,n} (LST_model_{i,j} - \overline{LST_model})^2}} \quad \text{رابطه (۴۵)}$$

۲-۲-۵-۲- معیار مجذور میانگین اختلاف

مربعات

$RMSE$ ، خطای مجذور میانگین مربعات بین دمای سطح مشاهده شده و دمای سطح مدل شده را نشان می‌دهد و مقدار ایده‌آل آن صفر می‌باشد. این معیار به صورت رابطه (۴۶) محاسبه می‌شود.

$$RMSE = \sqrt{\frac{1}{m \times n} \sum_{i,j=1,1}^{i,j=m,n} (LST_{i,j} - LST_model_{i,j})^2} \quad \text{رابطه (۴۶)}$$

ایده‌آل برای نرمال‌سازی دمای سطح از پارامترهای محیطی در مناطق فاقد منابع زمین گرمایی، مدلی است که میانگین و واریانس مقادیر دمای سطح نرمال شده حاصل از آن صفر باشند. مقدار واریانس برای ارزیابی کارایی مدل برای نرمال‌سازی دمای سطح با استفاده از رابطه (۴۷) محاسبه می‌شود. در این رابطه،

که در رابطه (۴۵)، LST و LST_model به ترتیب دمای سطح مشاهده شده و دمای سطح مدل شده، \overline{LST} و $\overline{LST_model}$ به ترتیب میانگین دمای سطح مشاهده شده و دمای سطح مدل شده و m و n به ترتیب تعداد سطر و ستون تصویر می‌باشند.

در این رابطه، LST و LST_model به ترتیب دمای سطح مشاهده شده و دمای سطح مدل شده و m و n به ترتیب تعداد سطر و ستون تصویر می‌باشند.

۲-۲-۵-۳- واریانس دمای سطح نرمال شده

واریانس معیاری است که چگونگی توزیع مقادیر یک متغیر را نسبت به میانگین متغیر نشان می‌دهد. یک مدل

^۱ Root Mean Square Error (RMSE)

$LST_Correct$ میانگین مقادیر دمای نرمال شده و m و n به ترتیب تعداد سطر و ستون تصویر می باشند.

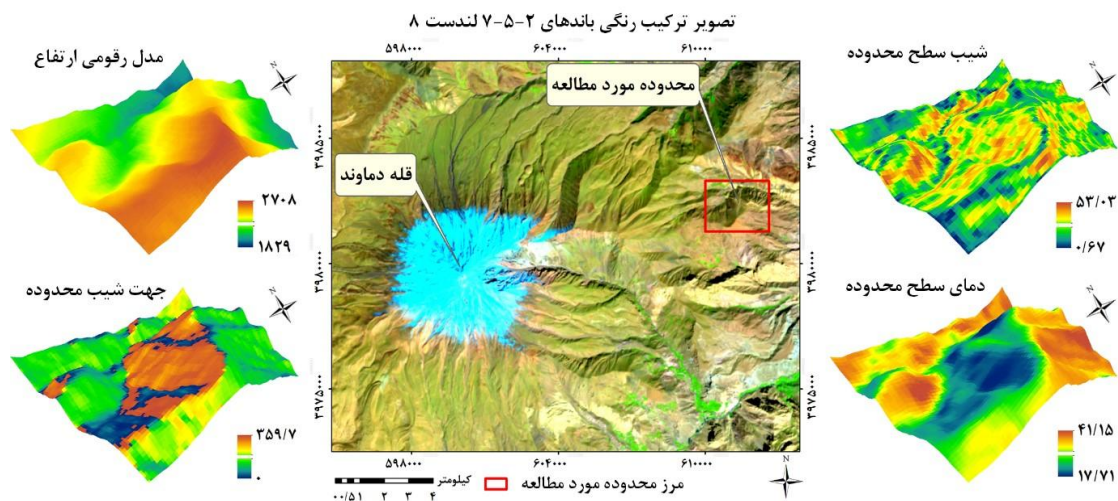
$\sigma^2_{LST_Correct}$ واریانس مقادیر دمای سطح نرمال شده، $LST_Correct$ مقادیر دمای نرمال شده،

$$\sigma^2_{LST_Correct} = \frac{1}{m \times n} \sum_{i,j=1,1}^{i,j=m,n} (LST_Correct_{i,j} - \overline{LST_Correct_{i,j}})^2 \quad \text{رابطه (۴۷)}$$

۳۵۹/۷ درجه متغیر است. توزیع ناهمگن مقادیر پارامترهای محیطی در این محدوده سبب شده که بین بیشینه و کمینه دمای سطح، ۲۴ درجه سانتی گراد اختلاف وجود داشته باشد. این منطقه برای پیاده سازی مدل پیشنهادی و ارزیابی کارایی مدل ارائه شده با پارامترهای آماری استفاده شده است. موقعیت جغرافیایی و مدل های سه بعدی ارتفاع، شیب، جهت شیب و دمای سطح محدوده مورد مطالعه اول به صورت شکل (۳) نشان داده شده است.

۳- محدوده‌ی مورد مطالعه

منطقه مورد مطالعه اول، شامل محدوده‌ای به مساحت ۵/۲۴ کیلومترمربع در عرض ۳۹۸۱۲۸۶، ۳۹۸۳۲۹۳ متر شمالی و طول ۶۱۰۰۰۹، ۶۱۲۶۱۴ متر شرقی ناحیه ۷۳۹ سیستم تصویر UTM در رشته کوه البرز و کوه دماوند واقع شده است. محدوده مورد مطالعه به دلیل موقعیت جغرافیایی خاص، دارای شرایط توپوگرافی و بیوفیزیکی ناهمگن می باشد، به طوری که با وجود وسعت پایین محدوده مورد مطالعه، ارتفاع از ۱۸۲۹ تا ۲۷۰۸ متر، شیب از ۰/۶۷ تا ۵۳/۵ درجه و جهت شیب از ۰ تا

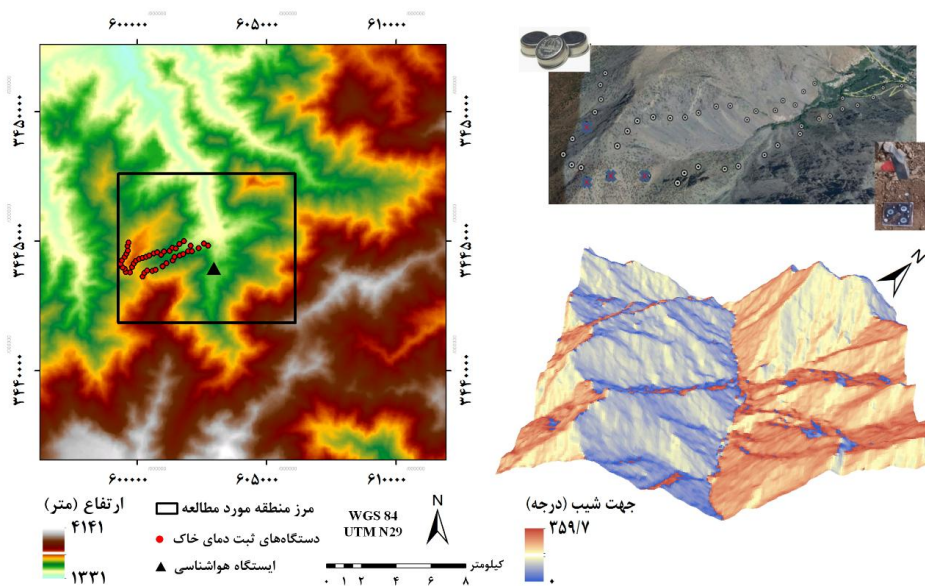


شکل ۳: موقعیت جغرافیایی و مدل های سه بعدی ارتفاع، شیب، جهت شیب و دمای سطح محدوده مورد مطالعه اول

شرایط توپوگرافی و بیوفیزیکی ناهمگن می باشد. با توجه به در دسترس بودن داده های دمای خاک ثبت شده توسط دستگاه های مخصوص در لحظه گذر ماهواره، از این منطقه برای ارزیابی کارایی مدل به دلیل دسترسی به داده های زمینی استفاده شده است. موقعیت

منطقه‌ی دوم، شامل محدوده‌ای به مساحت ۴۷/۷۲ کیلومترمربع در عرض ۳۴۴۱۸۵۴، ۳۴۴۷۴۳۱ متر شمالی و طول ۵۹۹۲۹۶، ۶۰۶۰۹۲ متر شرقی ناحیه ۷۳۹ سیستم UTM در کشور مراکش واقع شده است. محدوده مورد مطالعه به دلیل موقعیت جغرافیایی، دارای

جغرافیایی منطقه دوم به صورت شکل (۴) نشان داده شده است.



شکل ۴: موقعیت جغرافیایی منطقه مورد مطالعه دوم و دستگاه‌های ثبت دمای خاک

پارامترهای محیطی و *LST* به صورت شکل (۵) نشان داده شده است.

برای بررسی همبستگی بین پارامترهای محیطی ضریب همبستگی بین هر یک از پارامترها بررسی شده و نتایج آن به صورت جدول (۳) نشان داده شده است. بررسی نتایج جدول (۳)، نشان می‌دهد که برای منطقه مورد مطالعه اول پارامترهای محیطی آلبیدو، روشنایی و مولفه پنجم دارای همبستگی بسیار بالایی می‌باشند. با توجه به این که ضریب همبستگی بین آلبیدو و *LST* به نسبت دو پارامتر دیگر بالاتر می‌باشد از این پارامتر به عنوان برآیند سه پارامتر در مدل استفاده خواهد شد. همچنین پارامتر محیطی کسر پوشش گیاهی و سبزیگی نیز دارای همبستگی شدیدی می‌باشند. با توجه به ارتباط قوی تر بین دمای سطح و مولفه سبزیگی از این پارامتر به عنوان برآیند دو پارامتر در مدل نرمال سازی دمای سطح استفاده خواهد شد.

۴- نتایج و بحث

لازم به ذکر است که مدل پیشنهادی برای مدل سازی و نرمال سازی دمای سطح برای منطقه مورد مطالعه اول و دوم پیاده سازی شده است. نتایج مربوط به منطقه مورد مطالعه اول به صورت کامل در مقاله قرار گرفته و در راستای این نتایج عملکرد مدل بحث شده است. به دلیل محدودیت حجم مقاله فقط نتایج نهایی و نتایج ارزیابی کارایی مدل پیشنهادی با استفاده از داده‌های واقعی مربوط به منطقه مورد مطالعه دوم در انتهای مقاله قرار گرفته است.

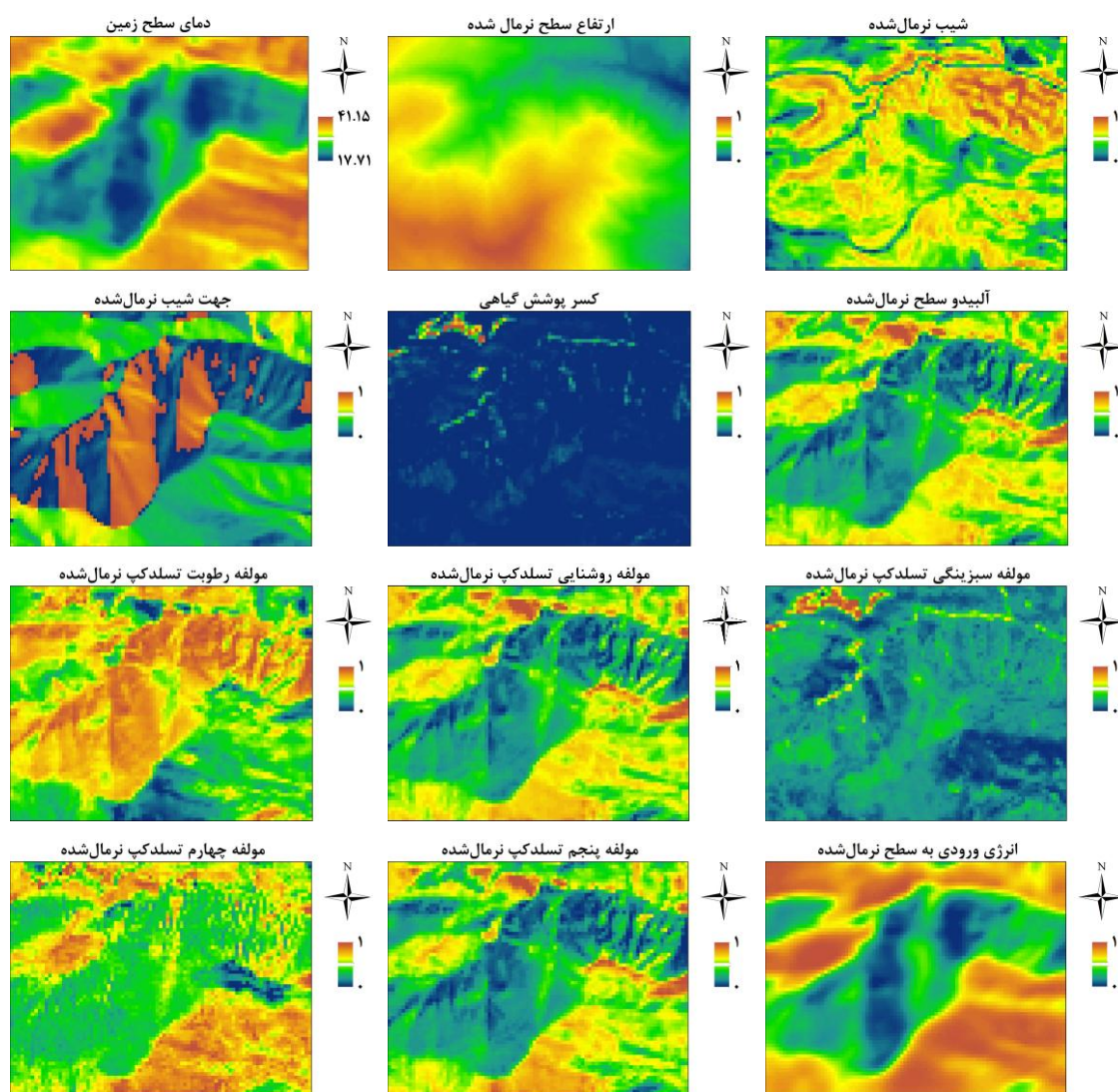
۴-۱- دمای سطح و پارامترهای محیطی

پس از مرحله پیش پردازش، پارامترهای محیطی از جمله عوامل توپوگرافی، انرژی رسیده به سطح، آلبیدو و خصوصیات بیوفیزیکی سطح شامل مولفه‌های روشنایی، رطوبت، سبزیگی، چهارم و پنجم تسلدکپ با توجه به مراحل ذکر شده در بخش روش پژوهش استخراج شده‌اند. همچنین *LST* منطقه مورد مطالعه با استفاده از الگوریتم تک کاناله محاسبه شده است. نقشه‌های

هریک از پارامترها به صورت مجزا به روش سرشکنی کمترین مربعات محاسبه شده و ارتباط بین دمای سطح مدل شده و دمای سطح مشاهده شده بررسی شده است. نقشه های دمای سطح مدل شده و نمودار فضای ویژگی بین دمای سطح مدل شده و دمای سطح مشاهده شده برای هر یک از پارامترهای محیطی به صورت شکل (۶) نشان داده شده است.

۴-۲- آنالیز حساسیت تاثیرگذاری پارامترهای محیطی مختلف بر دمای سطح

پارامترهای محیطی مختلف با توجه به شرایط منطقه تاثیر متفاوتی بر دمای سطح می گذارند. برای بررسی میزان تاثیرگذاری هر یک از پارامترهای محیطی مدنظر در این مقاله، بر دمای سطح مدل شده با



شکل ۵: نقشه های دمای سطح زمین (سانتی گراد) و پارامترهای محیطی نرمال شده

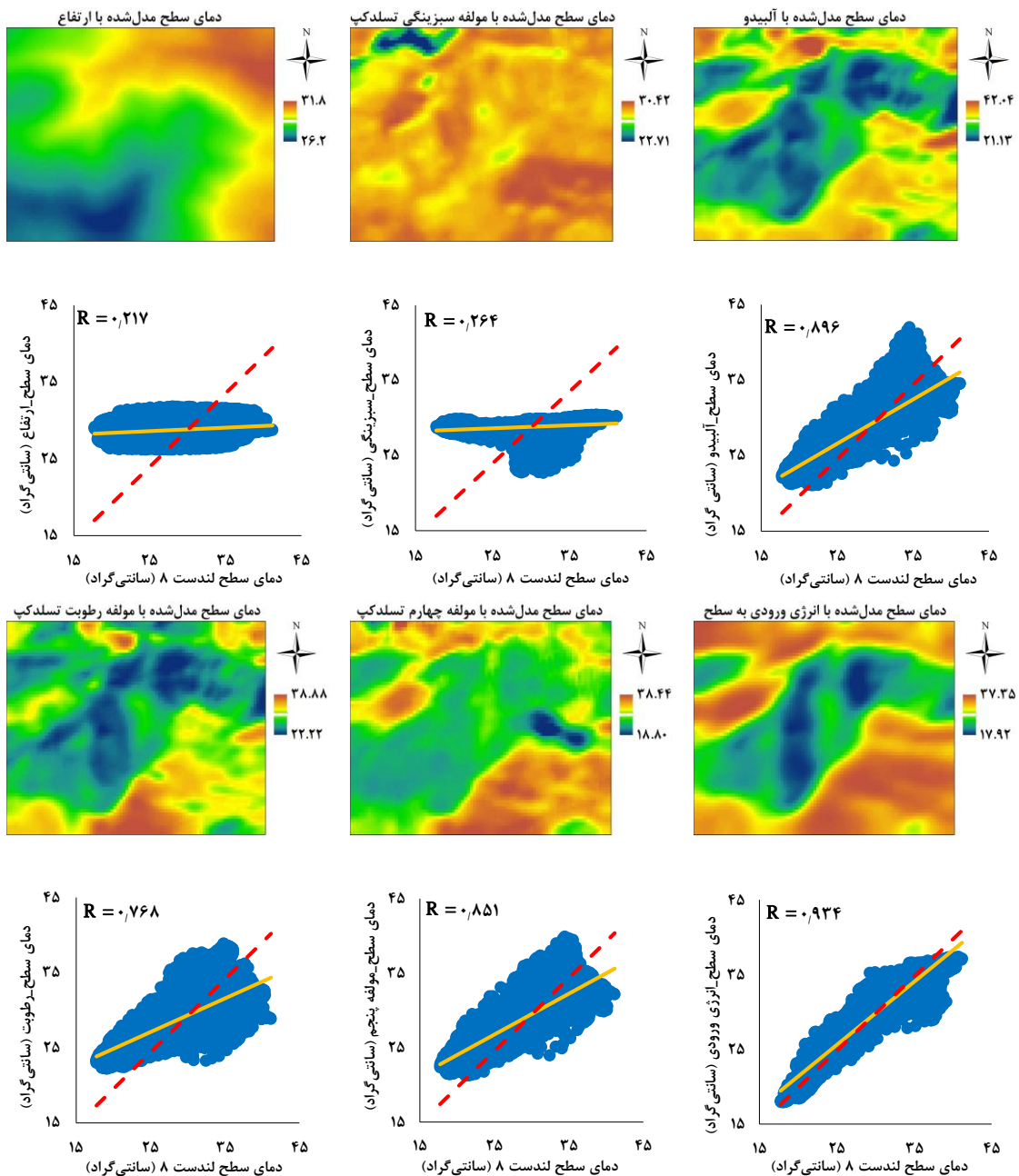
جدول ۳: ضریب همبستگی بین هر یک از پارامترهای محیطی

پارامترها	تابش ورودی	آلبدو	NDVI	ارتفاع	روشنایی	سبزیگی	رطوبت	چهارم	پنجم	دما
تابش ورودی	۱	۰٫۳۷	-۰٫۲۸	-۰٫۱۴	۰٫۳۱	-۰٫۲۳	-۰٫۵۶	۰٫۳۶	۰٫۳۰	۰٫۸۵
آلبدو		۱	-۰٫۴۳	۰٫۰۰	۰٫۹۸	-۰٫۲۴	-۰٫۷۳	۰٫۶۳	۰٫۹۷	۰٫۷۹
NDVI			۱	۰٫۰۰	-۰٫۳۵	۰٫۹۴	۰٫۳۶	-۰٫۷۳	-۰٫۴۰	-۰٫۱۸
ارتفاع				۱	۰٫۰۶	۰٫۰۰	-۰٫۱۹	-۰٫۱۵	۰٫۱۰	-۰٫۱۶
روشنایی					۱	-۰٫۱۶	-۰٫۷۱	۰٫۶۲	۰٫۹۸	۰٫۷۸
سبزیگی						۱	۰٫۲۳	-۰٫۲۴	-۰٫۲۲	-۰٫۲۰
رطوبت							۱	-۰٫۶۱	-۰٫۶۸	-۰٫۶۹
چهارم								۱	۰٫۶۴	۰٫۶۴
پنجم									۱	۰٫۷۷
دما										۱

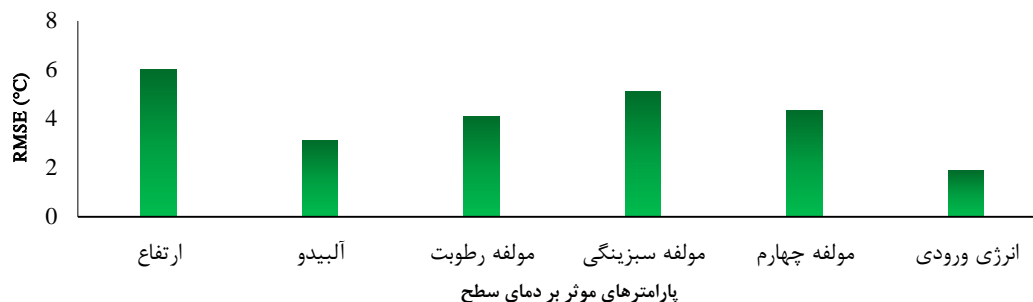
فضای سبز منطقه مورد مطالعه برمی‌گردد. تغییرات بالای پارامترهای توپوگرافی از جمله ارتفاع، شیب و جهت شیب در کنار پوشش گیاهی فقیر منطقه سبب شده است که انرژی ورودی به سطح، بالاترین تاثیر را بر دمای سطح منطقه داشته باشد. در ادامه معیار *RMSE* بین مقادیر دمای سطح مدل شده و دمای سطح لندست ۸ برای هر یک از پارامترهای محیطی محاسبه شده است و نتایج آن به صورت شکل (۷) نشان داده شده است. با توجه به شکل (۷)، مقدار پارامتر *RMSE* بین دمای سطح مدل شده و دمای سطح لندست ۸ برای پارامتر انرژی ورودی سطح ۱/۸ و برای ارتفاع ۶/۰ می‌باشد. دمای سطح نرمال شده برای هر یک از پارامترها با توجه به مدل سرشکنی کمترین مربعات و با تفریق دمای سطح مشاهده شده و دمای سطح مدل شده محاسبه شده و نمودار هیستوگرام و واریانس تصویر دمای سطح نرمال شده بررسی شده است. برای پارامترها که واریانس مقادیر

نتایج نشان داده شده در شکل (۶) بیانگر این است که در منطقه مورد مطالعه پارامترهای مختلف نقش متفاوتی در نحوه توزیع دمای سطح دارند. با توجه به ضرایب همبستگی بدست آمده برای هر ارتباط، پارامترهای انرژی ورودی به سطح، آلبدو، رطوبت و مولفه‌های چهارم تاثیر زیاد و پارامترهای ارتفاع و سبزیگی تاثیر کمتری بر مقدار و توزیع دمای سطح منطقه مورد مطالعه دارند. در بین این پارامترها انرژی ورودی به سطح با ضریب همبستگی ۰/۹۳ بالاترین و ارتفاع با ضریب همبستگی ۰/۲۱ پایین‌ترین تاثیرگذاری را دارند. به دلیل این که نرخ افت محیطی دما ناشی از افزایش ارتفاع بیشتر در شب اتفاق می‌افتد، در روز پارامتر ارتفاع به نسبت دیگر پارامترهای محیطی اثر کمتری بر مقدار و توزیع دمای سطح می‌گذارد [۳۰]. همچنین دلیل اصلی تاثیرگذاری پایین پارامتر پوشش گیاهی بر دمای سطح به توزیع یکنواخت و تراکم نسبتاً پایین پوشش گیاهی و

دمای سطح نرمال شده نسبت به آن‌ها کمتر باشد این پارامترها تاثیر بیشتری بر مقدار LST دارند.



شکل ۶: دمای سطح مدل‌شده و نمودار ارتباط بین دمای سطح مدل‌شده و لندست ۸ برای هر یک از پارامترهای محیطی



شکل ۷: $RMSE$ بین مقادیر دمای سطح مدل شده و دمای سطح لندست ۸

رطوبت، مولفه چهارم، سبزیگی و ارتفاع را به ترتیب تاثیرگذاری بر LST از بالا به پایین مرتب کرد.

۴-۳- نرمال سازی دمای سطح نسبت به پارامترهای محیطی

با وجود تاثیر کم بعضی از پارامترها بر LST ، بکارگیری آن‌ها در کنار پارامترهای دیگر می تواند به مینیمم شدن واریانس مقادیر دمای سطح نرمال شده نهایی کمک کند. با حل ضرایب مدل نرمال سازی دمای سطح، وزن کمتری به این پارامترها اختصاص می یابد. با اضافه شدن پارامترهای محیطی موثر بر دمای سطح به مدل نرمال سازی دمای سطح مقدار دو پارامتر ارزیابی دقت $RMSE$ بین مقادیر دمای سطح مدل شده و دمای سطح مشاهده شده و واریانس دمای سطح نرمال شده برای منطقه مورد مطالعه به صورت شکل (۹) در هر مرحله کاهش خواهد یافت.

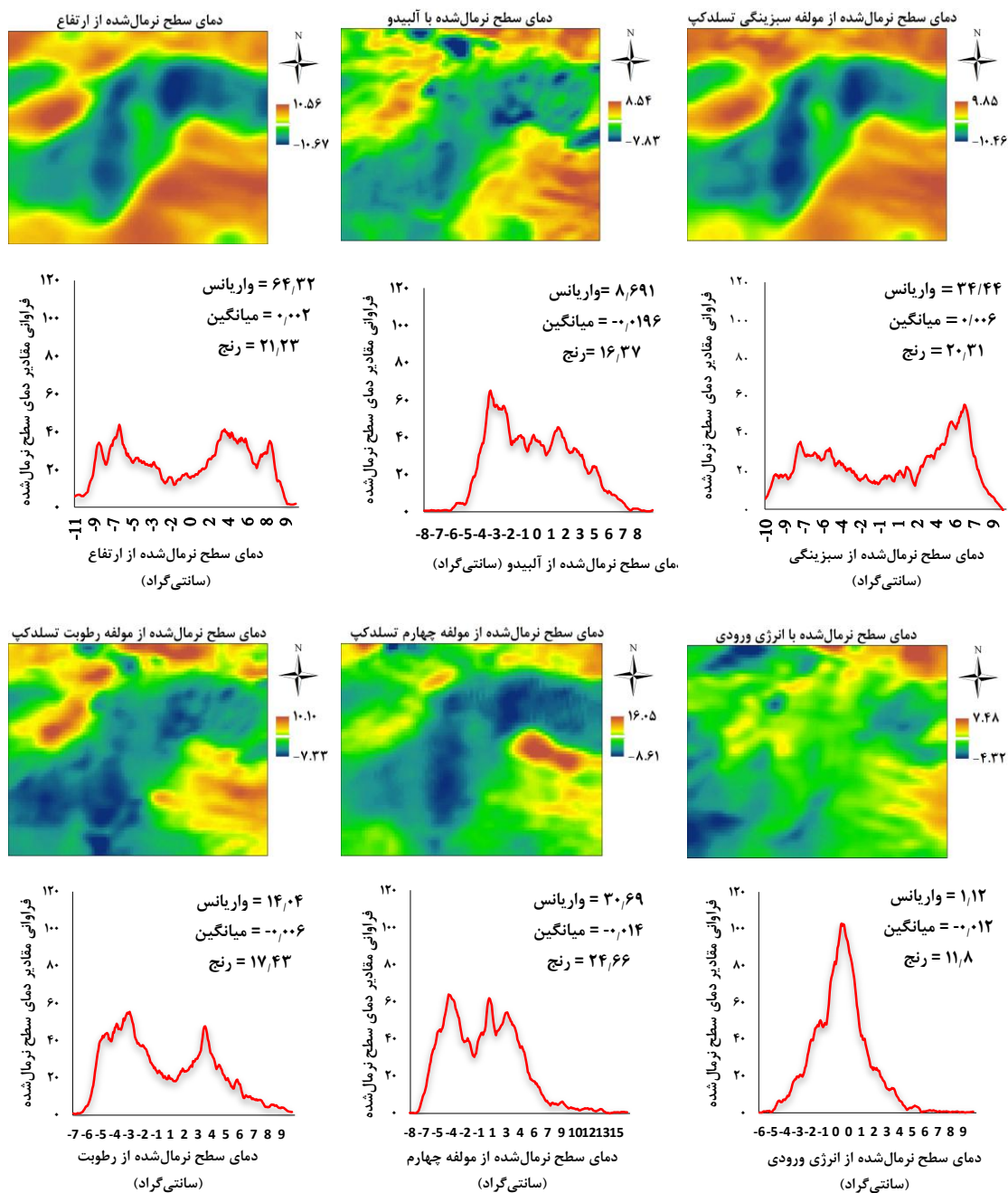
با توجه به مطالب ذکر شده، در نهایت با در نظر گرفتن تمام پارامترهای محیطی مدنظر این پژوهش، با استفاده از مدل سرشکنی کمترین مربعات دمای سطح نرمال شده نسبت به پارامترهای محیطی، برای منطقه مورد مطالعه بدست آمده است. ضرایب مربوط به هر یک از پارامترهای محیطی در مدل سرشکنی کمترین مربعات به صورت جدول (۴) محاسبه شده است.

نتایج حاصل از دمای سطح مدل شده با توجه به پارامترهای محیطی، نمودار فضای ویژگی بین دمای سطح مدل شده و دمای سطح مشاهده شده، دمای سطح نرمال شده از پارامترهای محیطی و هیستوگرام مقادیر

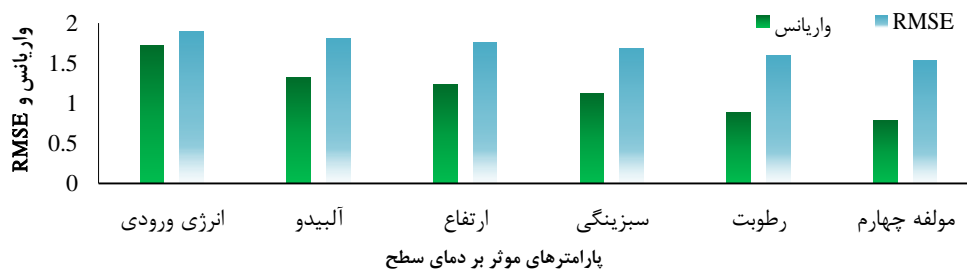
تصاویر دمای سطح نرمال شده نسبت به هر یک از پارامترهای محیطی و هیستوگرام مربوط به آن به صورت مجزا به صورت شکل (۸) نشان داده شده است.

تفسیر بصری تصاویر دمای سطح نرمال شده نسبت به پارامترهای سبزیگی و ارتفاع نشان می دهد که این پارامترها تاثیر چندانی بر دمای سطح منطقه ندارند. البته به طور طبیعی این پارامترها با دمای سطح ارتباط قوی دارند ولی در منطقه مورد مطالعه این ارتباط تحت تاثیر پارامترهای محیطی دیگر مانند انرژی ورودی به سطح و آلبیدو قرار گرفته است. بررسی بصری هیستوگرام مقادیر کمی رنج و واریانس مقادیر دمای سطح نرمال شده نشان می دهد که هر چه تاثیر پارامتر بر دمای سطح بیشتر باشد هیستوگرام تصویر نرمال شده به توزیع نرمال نزدیک تر شده و زنگوله ای شکل خواهد شد. همچنین عدد مربوط به رنج مقادیر دمای سطح نرمال شده کوچکتر و واریانس مقادیر به صفر نزدیک تر می شود. با توجه به هیستوگرام مقادیر مشخص می باشد که مقادیر دمای سطح نرمال شده نسبت به پارامترهای سبزیگی و ارتفاع از میانگین مقادیر فاصله زیادی دارند. این عامل سبب می شود هیستوگرام دامنه بالایی داشته و واریانس مقادیر دمای سطح نرمال شده بالا باشد. با توجه به شکل (۸) می توان نتیجه گرفت که برای منطقه مورد مطالعه پارامتر انرژی ورودی به سطح با رنج ۱۱/۸ و واریانس ۱/۱۱ تاثیرگذارترین پارامتر بر دمای سطح می باشد. با توجه به آنالیز حساسیت صورت گرفته بر اساس اصل مینیمم شدن واریانس مقادیر دمای سطح نرمال شده می توان پارامترهای انرژی ورودی به سطح، آلبیدو،

دمای سطح نرمال شده نهایی به صورت شکل (۱۰) نشان داده شده است.



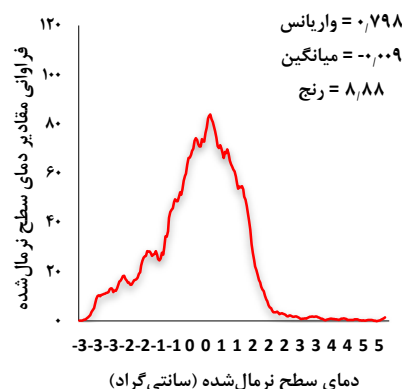
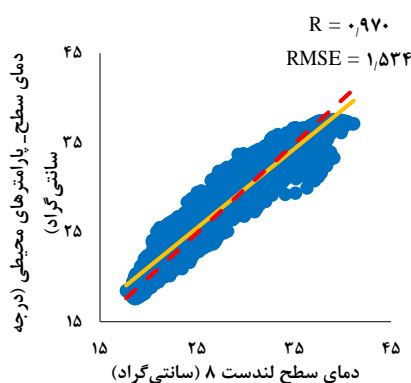
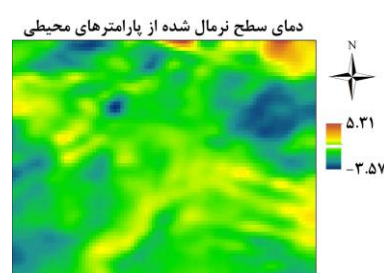
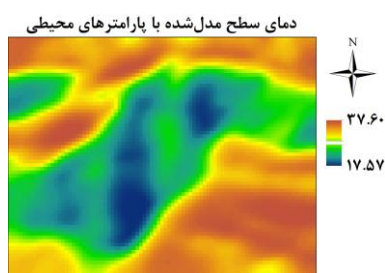
شکل ۸: تصاویر دمای سطح نرمال شده نسبت به هر یک از پارامترهای محیطی و هیستوگرام مربوط به آنها



شکل ۹: روند کاهش $RMSE$ و واریانس با اضافه شدن هر پارامتر محیطی به مدل نرمال‌سازی دمای سطح

جدول ۴: ضرایب محاسبه‌شده برای هر یک از پارامترهای محیطی در مدل سرشکنی کمترین مربعات

پارامترها	آلبدو	ارتفاع	سبزی‌نگی	رطوبت	مولفه چهارم	تابش ورودی
ضرایب	۶۳٫۰۳	-۰٫۰۸۸	-۳٫۸۲	-۱۵٫۲۱	۵۱٫۰۲	۸۵٫۰۵



شکل ۱۰: دمای سطح مدل‌شده با توجه به پارامترهای محیطی (سانتی‌گراد)، نمودار فضای ویژگی بین دمای سطح مدل‌شده و دمای سطح مشاهده‌شده، دمای سطح نرمال‌شده از پارامترهای محیطی و هیستوگرام مقادیر دمای سطح نرمال‌شده نهایی

پارامترهای محیطی نرمال‌شده است. ضریب همبستگی بین دمای سطح مدل‌شده و دمای حاصل از تصویر

با بررسی تصویر دمای سطح نرمال‌شده از پارامترهای محیطی مشخص می‌شود که دمای سطح به خوبی از

پس از مرحله پیش‌پردازش تصویر لندست ۸ و مدل رقومی ارتفاع استر، پارامترهای محیطی از جمله عوامل توپوگرافی، تابش تجمعی موثر رسیده به سطح، کسر پوشش گیاهی، آلبیدو و پارامترهای تسلدکپ با توجه به مراحل ذکر شده در بخش روش پژوهش استخراج شده‌اند. همچنین *LST* منطقه مورد مطالعه با استفاده از الگوریتم تک‌کاناله محاسبه شده است. نقشه پارامترهای محیطی، *LST* بدست آمده از تصویر ماهواره‌ای و تابش ورودی به سطح برای منطقه دوم به صورت شکل (۱۱) نشان داده شده است.

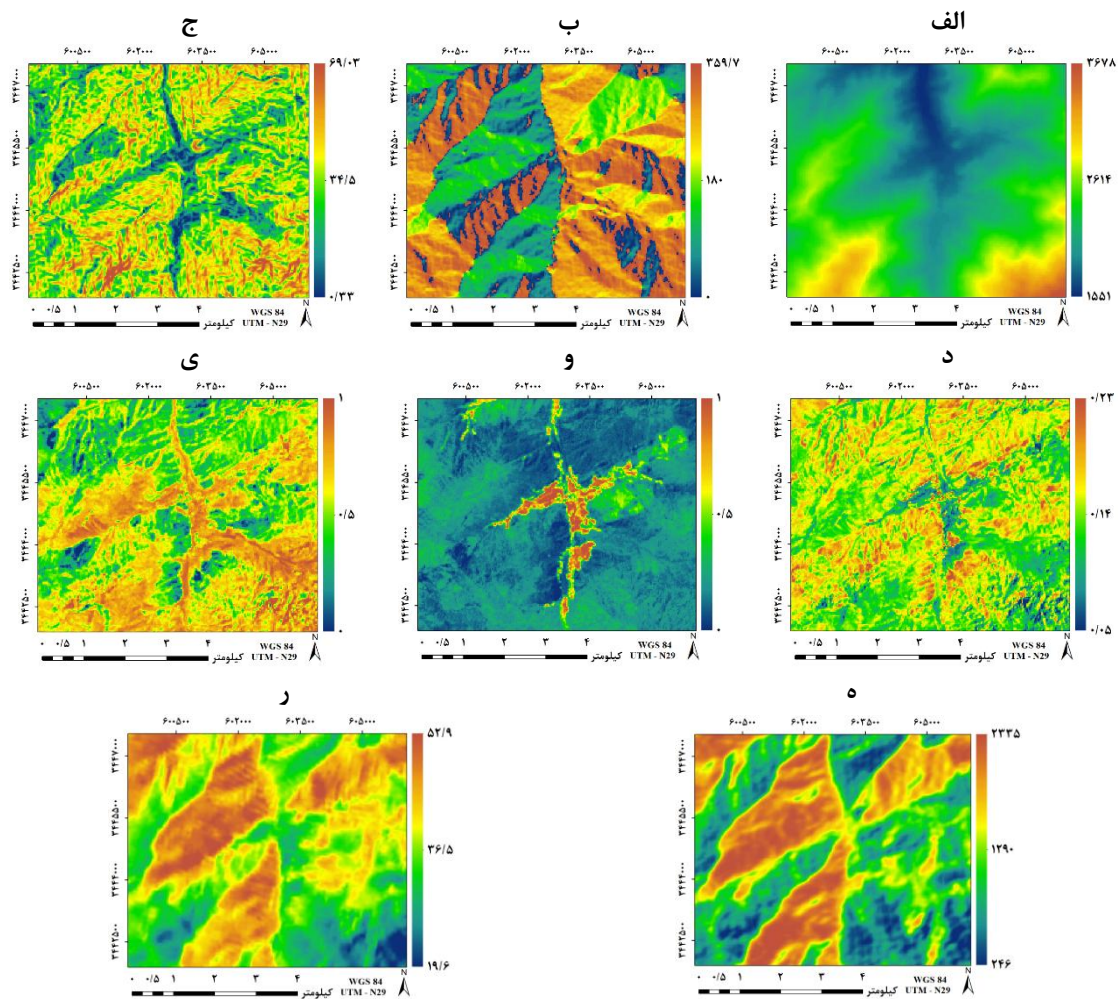
در نهایت با در نظر گرفتن تمام پارامترهای محیطی مدنظر این پژوهش با استفاده از مدل سرشکنی کمترین مربعات دمای سطح مدل شده با توجه به پارامترهای محیطی و نرمال شده نسبت به پارامترهای محیطی برای منطقه مورد مطالعه بدست آمده است. نتایج حاصل از دمای سطح مدل شده با توجه به پارامترهای محیطی، نمودار فضای ویژگی بین دمای سطح مدل شده و دمای سطح مشاهده شده، دمای سطح نرمال شده از پارامترهای محیطی و هیستوگرام مقادیر دمای سطح نرمال شده نهایی به صورت شکل (۱۲) نشان داده شده است.

با بررسی تصویر دمای سطح نرمال شده از پارامترهای محیطی، مشخص می‌شود که دمای سطح به خوبی از پارامترهای محیطی نرمال شده است. ضریب همبستگی بین دمای سطح مدل شده و دمای حاصل از تصویر ماهواره‌ای بسیار بالا و برابر با ۰/۹۳۴ می‌باشد. ضریب *RMSE* بین دمای سطح مدل شده و دمای سطح مشاهده شده ۲/۱۴ و واریانس مقادیر دمای سطح نرمال شده از پارامترهای محیطی ۲/۱۵ می‌باشد. در نهایت برای تایید کارایی مدل ارائه شده، ضریب همبستگی و *RMSE* بین دمای سطح مدل شده و اندازه‌گیری شده توسط دستگاه‌های زمینی در لحظه گذر ماهواره بررسی شد که نتایج آن به صورت شکل (۱۳) نشان داده شد که در آن کارایی مدل واریانس مبنا ارائه شده در این پژوهش برای مدل‌سازی و نرمال‌سازی دمای سطح را نشان می‌دهد.

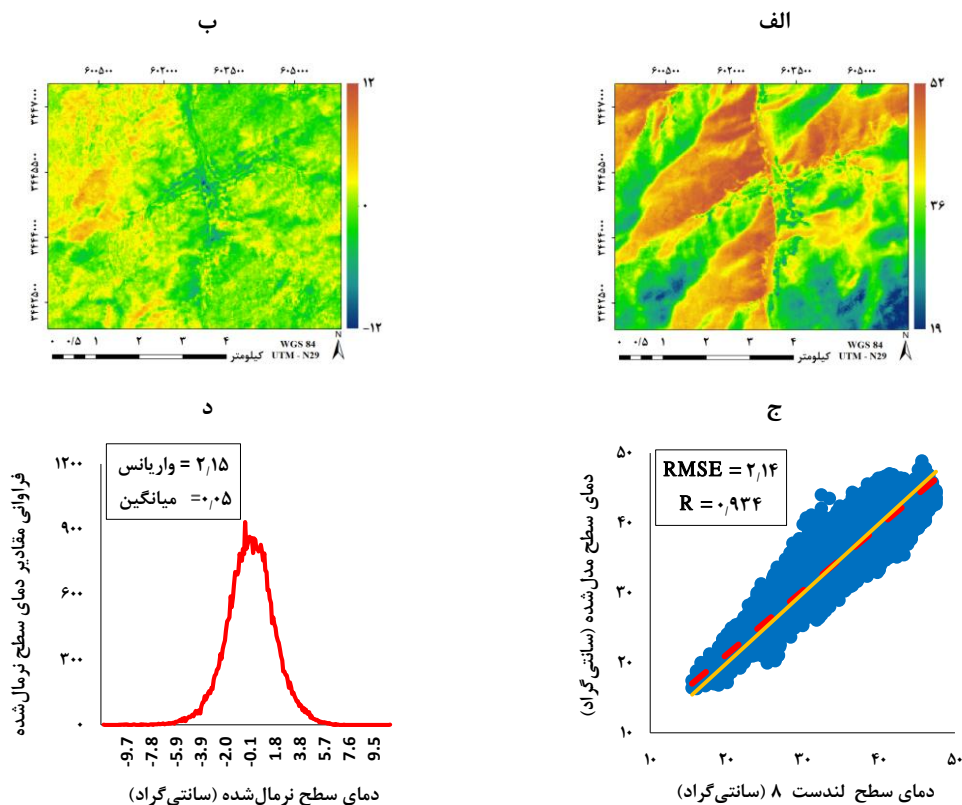
ماهواره‌ای بسیار بالا و برابر با ۰/۹۷ می‌باشد. ضریب *RMSE* بین دمای سطح مدل شده و دمای سطح مشاهده شده ۱/۵۳ و واریانس مقادیر دمای سطح نرمال شده از پارامترهای محیطی ۰/۷۹ می‌باشد. دمای سطح محدوده‌هایی خاص از منطقه مورد مطالعه در قسمت شمال شرقی منطقه در تصویر دمای سطح نرمال شده به صورت آنومالی باقی مانده است. این موضوع می‌تواند سه دلیل اصلی داشته باشد. اول این که اثرات پارامترهای در نظر گرفته شده در مدل پیشنهادی به خوبی مدل نشده و از دمای سطح برداشته نشده است که نشان دهنده ضعف مدل پیشنهادی است. دوم اینکه دمای سطح این منطقه تحت تاثیر پارامترهای دیگری همچون اینرسی حرارتی، اثر تابش خورشید مربوط به روز قبل، فعالیت‌های انسانی و غیره باشد که در مدل پیشنهاد شده در این پژوهش در نظر گرفته نشده‌اند. سوم اینکه می‌تواند بیانگر وجود اثرات منابع زمین گرمایی در این مناطق باشد. در ادامه برای اینکه کارایی مدل بکار گرفته شده در نرمال‌سازی دمای سطح نسبت به پارامترهای محیطی اثبات شود، ارتباط بین دمای سطح و پارامترهای محیطی بعد از نرمال‌سازی بررسی شده است. نتایج، کارایی مدل ارائه شده در مقاله برای نرمال کردن دمای سطح از عوامل محیطی را نشان می‌دهد؛ به طوری که برای تمامی پارامترهای محیطی در نظر گرفته شده، شیب خط و ضریب رگرسیون رابطه بین پارامترهای محیطی و دمای سطح نرمال شده خیلی به صفر نزدیک شده است. به عبارت دیگر دمای سطح نرمال شده به صورت کامل از پارامترهای محیطی در نظر گرفته شده در پژوهش مستقل شده است. در نتیجه اثرات دمایی باقی مانده در دمای سطح نرمال شده به یکی از علت‌های دوم و سوم ذکر شده در قسمت قبل برمی‌گردد.

۴-۴- ارزیابی کارایی مدل با داده زمینی

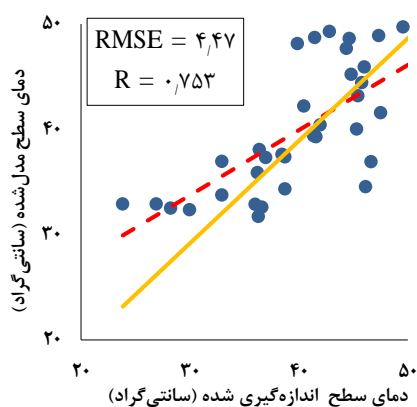
برای ارزیابی کارایی مدل واریانس مبنا پیشنهادی برای مدل‌سازی و نرمال‌سازی دمای سطح، مدل پیشنهادی برای منطقه مورد مطالعه دوم نیز پیاده‌سازی شده است.



شکل ۱۱: نقشه پارامترهای محیطی برای روز ۲۴۸ سال ۲۰۱۴ (الف) ارتفاع (متر)، (ب) جهت شیب (درجه)، (ج) شیب (درجه)، (د)، (ه) آلبيدو، (و) سبزیبندی، (ی) رطوبت سطح، (ه) تابش تجمعی موثر رسیده به سطح و (ر) دمای سطح بدست آمده از لندست



شکل ۱۲: الف) دمای سطح مدل شده با توجه به پارامترهای محیطی (سانتی گراد)، ب) دمای سطح نرمال شده از پارامترهای محیطی، ج) نمودار فضای ویژگی بین دمای سطح مدل شده و دمای سطح مشاهده شده و د) هیستوگرام مقادیر دمای سطح نرمال شده



شکل ۱۳: ارزیابی کارایی مدل ارائه شده برای مدل سازی و نرمال سازی دمای سطح با داده های زمینی

۵- نتیجه گیری

نرمال سازی دمای سطح نسبت به عوامل محیطی برای بسیاری از مطالعات علمی و تصمیمات مدیریتی دقیق همچون بحث شناسایی منابع ژئوترمال، پایش روند تغییرات فعالیت گسل ها و آتشفشان ها، روند تغییرات آنومالی های حرارتی و ارتباط آن با زمین لرزه در محیط غیرشهری و مدیریت و برنامه ریزی مصرف منابع انرژی در محیط شهری از اهمیت بالایی برخوردار است. هدف از مطالعه حاضر ارائه مدلی جدید واریانس مبنا برای نرمال سازی دمای سطح نسبت به پارامترهای محیطی می باشد که علاوه بر بهبود مدل های موجود برای مدل سازی تاثیر عوامل خورشید و توپوگرافی تاثیر عوامل بیوفیزیکی بر دمای سطح را نیز در نظر می گیرد.

در این پژوهش برای مدل سازی اثر خورشید و توپوگرافی مدل کولبو بهبود داده شده است. برای مدل سازی اثر نرخ افت محیطی بر دمای سطح از پارامتر ارتفاع و برای مدل سازی پارامترهای بیوفیزیکی از شاخص آلبیدو سطح و مولفه های ترکیب باندی تسلدکپ استفاده شده است. در نهایت برای نرمال سازی دمای سطح نسبت به پارامترهای محیطی از شرط مینیمم شدن واریانس مقادیر دمای سطح نرمال شده استفاده شده است. برای این منظور برای محاسبه بهینه ضرایب مجهول در مدل ارائه شده روش بهینه سازی چند معیاره سرشکنی کمترین مربعات بکار گرفته شده است. با استفاده از این روش محدودیت شرط مستقل بودن پارامترهای محیطی نیز برداشته می شود. هر چند باید پارامترهایی که دارای همبستگی شدید می باشند از مدل حذف شوند.

نتایج حاصل از پژوهش نشان دهنده این است که برای محدوده مورد مطالعه، پارامتر انرژی ورودی به سطح، بیشترین و پارامترهای ارتفاع و سبزیگی، کمترین تاثیر را بر مقدار و چگونگی توزیع دمای سطح در محدوده دارند. با توجه به آنالیز حساسیت صورت گرفته بر اساس اصل مینیم شدن واریانس مقادیر دمای سطح نرمال شده برای محدوده مورد مطالعه پارامترهای انرژی ورودی به سطح، آلبیدو، رطوبت، مولفه چهارم، سبزیگی و ارتفاع

به ترتیب تاثیرگذاری بر LST از بالا به پایین مرتب خواهند شد. لازم به ذکر است که این ترتیب برای این محدوده با توجه به شرایط محیطی آن صادق است و طبیعتاً برای مناطق دیگر باید این موضوع به صورت مجزا بررسی شود. با بررسی مقادیر دمای سطح نرمال شده نسبت به پارامترهای محیطی مشخص می شود که دمای سطح به خوبی از پارامترهای محیطی نرمال شده است. ضریب همبستگی بین دمای سطح مدل شده و دمای سطح مشاهده شده بسیار بالا و برابر با ۰/۹۷ می باشد. مقدار $RMSE$ بین دمای سطح مدل شده و دمای سطح مشاهده شده ۱/۵۳ و واریانس مقادیر دمای سطح نرمال شده ۰/۷۹ می باشد.

بررسی ارتباط بین پارامترهای محیطی و دمای سطح قبل و بعد از نرمال شدن کارایی مدل ارائه شده برای نرمال سازی دمای سطح نسبت به پارامترهای محیطی را تا حدودی ثابت کرده است. به طوری که شیب خط و ضریب رگرسیون ارتباط بین این پارامترها و دمای سطح بعد از نرمال سازی این اثرات مقدار عددی بسیار نزدیک به صفر را نشان می دهند. همچنین بررسی نتایج ارزیابی نتایج با داده های زمینی دمای سطح نیز کارایی مدل واریانس مبنا ارائه شده در این پژوهش را تایید می کند. پیشنهاد می گردد در مطالعات آتی در این زمینه با بکارگیری تصویر حرارتی شب تاثیر پارامترهای محیطی دیگر موثر بر دمای سطح از جمله اینرسی حرارتی و همچنین ارتفاع بارومتریک در مدل نرمال سازی در نظر گرفته شود. همچنین به علت تاثیر مستقیم دقت مکانی مدل رقومی ارتفاعی برای مدل سازی انرژی ورودی به سطح و نقش تاثیرگذار آن بر دمای سطح، ارائه مدلی برای بهینه سازی دقت مدل رقومی ارتفاعی مورد استفاده برای این منظور بسیار مفید می باشد. از جمله پیشنهادات دیگر برای افزایش کارایی مدل نرمال سازی دمای سطح و بهبود دقت آن، بررسی روش های حل مسئله نرمال سازی دمای سطح به صورت بهینه سازی محلی و مقایسه نتایج آن با نتایج روش بهینه سازی سراسری که در این مقاله ارائه شده می باشد. همچنین پیشنهاد

مساله نرمال‌سازی دمای سطح با توجه به معادلات بیلان انرژی به عنوان روشی پایه و مقایسه نتایج آن با روش ارائه شده در این مقاله بسیار مفید خواهد بود.

می‌شود برای مطالعات آتی درباره سطح نويز روش محاسبه دما و مقایسه آن با نتایج نرمال‌سازی با استفاده از مدل ارائه شده در این مقاله بحث شود. در نهایت حل

مراجع

- [1] L. Jia, M. Marco, S. Bob, J. Lu, and M. Massimo, "Monitoring Water Resources and Water Use from Earth Observation in the Belt and Road Countries," *Bulletin of Chinese Academy of Sciences*, vol. 32, no. Z1, pp. 62-73, 2017.
- [2] S. Mansor, A. Cracknell, B. Shilin, and V. Gornyi, "Monitoring of underground coal fires using thermal infrared data," *International Journal of Remote Sensing*, vol. 15, no. 8, pp. 1675-1685, 1994.
- [3] Z. Wan, P. Wang, and X. Li, "Using MODIS land surface temperature and normalized difference vegetation index products for monitoring drought in the southern Great Plains, USA," *International Journal of Remote Sensing*, vol. 25, no. 1, pp. 61-72, 2004.
- [4] M. Friedl, "Forward and inverse modeling of land surface energy balance using surface temperature measurements," *Remote sensing of environment*, vol. 79, no. 2, pp. 344-354, 2002.
- [5] J. Ma, S. Chen, X. Hu, P. Liu, and L. Liu, "Spatial-temporal variation of the land surface temperature field and present-day tectonic activity," *Geoscience Frontiers*, vol. 1, no. 1, pp. 57-67, 2010.
- [6] J. A. Okalebo et al., "An Evaluation of the Community Land Model (Version 3.5) and Noah Land Surface Models for Temperature and Precipitation Over Nebraska (Central Great Plains): Implications for Agriculture in Simulations of Future Climate Change and Adaptation," in *Climate Change Adaptation, Resilience and Hazards: Springer*, 2016, pp. 21-34.
- [7] C. Berger, J. Rosentreter, M. Voltersen, C. Baumgart, C. Schmillius, and S. Hese, "Spatio-temporal analysis of the relationship between 2D/3D urban site characteristics and land surface temperature," *Remote Sensing of Environment*, vol. 193, pp. 225-243, 2017.
- [8] J. A. Voogt and T. R. Oke, "Thermal remote sensing of urban climates," *Remote sensing of environment*, vol. 86, no. 3, pp. 370-384, 2003.
- [9] H. Lievens, B. Martens, N. Verhoest, S. Hahn, R. Reichle, and D. Miralles, "Assimilation of global radar backscatter and radiometer brightness temperature observations to improve soil moisture and land evaporation estimates," *Remote Sensing of Environment*, vol. 189, pp. 194-210, 2017.
- [10] P. P. Harris, S. S. Folwell, B. Gallego-Elvira, J. Rodríguez, S. Milton, and C. M. Taylor, "An evaluation of modeled evaporation regimes in Europe using observed dry spell land surface temperature," *Journal of Hydrometeorology*, vol. 18, no. 5, pp. 1453-1470, 2017.
- [11] M. Bellaoui, A. Hassini, and K. Bouchouicha, "Remote Sensed Land Surface Temperature Anomalies for Earthquake Prediction," in *International Journal of Engineering Research in Africa*, 2017, vol. 31, pp. 120-134: Trans Tech Publ.
- [12] T. C. Eckmann, D. A. Roberts, and C. J. Still, "Using multiple endmember spectral mixture analysis to retrieve subpixel fire properties from MODIS," *Remote Sensing of Environment*, vol. 112, no. 10, pp. 3773-3783, 2008.

- [13] Q. Weng, M. K. Firozjaei, M. Kiavarz, S. K. Alavipanah, and S. Hamzeh, "Normalizing land surface temperature for environmental parameters in mountainous and urban areas of a cold semi-arid climate," *Science of The Total Environment*, vol. 650, pp. 515-529, 2019.
- [14] M. Karimi Firozjaei, M. Kiavarz Mogaddam, S. Alavipanah, and S. Hamzeh, "Normalizing Satellite Images-Derived Land Surface Temperature Relative to Environmental Parameters Based on the Soil and Vegetation Energy Balance Equations," *Journal of Geomatics Science and Technology*, vol. 7, no. 3, pp. 213-232, 2018.
- [15] M. K. Firozjaei, M. Kiavarz, O. Nematollahi, M. Karimpour Reihan, and S. K. Alavipanah, "An evaluation of energy balance parameters, and the relations between topographical and biophysical characteristics using the mountainous surface energy balance algorithm for land (SEBAL)," *International Journal of Remote Sensing*, pp. 1-31, 2019.
- [16] C. Mattar et al., "Impacts of the broadband albedo on actual evapotranspiration estimated by S-SEBI model over an agricultural area," *Remote sensing of environment*, vol. 147, pp. 23-42, 2014.
- [17] Y. Malbêteau et al., "Normalizing land surface temperature data for elevation and illumination effects in mountainous areas: A case study using ASTER data over a steep-sided valley in Morocco," *Remote Sensing of Environment*, vol. 189, pp. 25-39, 2017.
- [18] M. Coolbaugh, C. Kratt, A. Fallacaro, W. Calvin, and J. Taranik, "Detection of geothermal anomalies using advanced spaceborne thermal emission and reflection radiometer (ASTER) thermal infrared images at Bradys Hot Springs, Nevada, USA," *Remote Sensing of Environment*, vol. 106, no. 3, pp. 350-359, 2007.
- [19] F. J. Gutiérrez, M. Lemus, M. A. Parada, O. M. Benavente, and F. A. Aguilera, "Contribution of ground surface altitude difference to thermal anomaly detection using satellite images: Application to volcanic/geothermal complexes in the Andes of Central Chile," *Journal of Volcanology and Geothermal Research*, vol. 237, pp. 69-80, 2012.
- [20] R. C. Dubayah, "Modeling a solar radiation topoclimatology for the Rio Grande River Basin," *Journal of Vegetation Science*, vol. 5, no. 5, pp. 627-640, 1994.
- [21] S. A. Kalogirou, *Solar energy engineering: processes and systems Academic Press*, 2013.
- [22] N. Raz-Yaseef, E. Rotenberg, and D. Yakir, "Effects of spatial variations in soil evaporation caused by tree shading on water flux partitioning in a semi-arid pine forest," *Agricultural and Forest Meteorology*, vol. 150, no. 3, pp. 454-462, 2010.
- [23] M. Z. Jacobson, *Fundamentals of atmospheric modeling. Cambridge university press*, 2005.
- [24] E. W. Danielson, J. Levin, and E. Abrams, *Meteorology. McGraw-Hill*, 2003.
- [25] J. R. Minder, P. W. Mote, and J. D. Lundquist, "Surface temperature lapse rates over complex terrain: Lessons from the Cascade Mountains," *Journal of Geophysical Research: Atmospheres*, vol. 115, no. D14, 2010.
- [26] C. Rolland, "Spatial and seasonal variations of air temperature lapse rates in Alpine regions," *Journal of Climate*, vol. 16, no. 7, pp. 1032-1046, 2003.
- [27] M. Hais and T. Kučera, "The influence of topography on the forest surface temperature retrieved from Landsat TM, ETM+ and ASTER thermal channels," *ISPRS Journal of Photogrammetry and*

- Remote Sensing*, vol. 64, no. 6, pp. 585-591, 2009.
- [28] J. Dozier and S. I. Outcalt, "An approach toward energy balance simulation over rugged terrain," *Geographical Analysis*, vol. 11, no. 1, pp. 65-85, 1979.
- [29] J. Peters, B. De Baets, E. M. De Clercq, E. Ducheyne, and N. E. Verhoest, "Influence of topographic normalization on the vegetation index-surface temperature relationship," *Journal of Applied Remote Sensing*, vol. 6, no. 1, pp. 063518-1-063518-15, 2012.
- [30] M. Kiavarz Moghaddam, "Land Surface Thermal Anomaly Detection Based on Satellite Thermal Band Normalization," *Journal of Geomatics Science and Technology*, pp. 55-65, 2017.
- [31] T. Cooley et al., "FLAASH, a MODTRAN4-based atmospheric correction algorithm, its application and validation," in *Geoscience and Remote Sensing Symposium, 2002. IGARSS'02. 2002 IEEE International*, 2002, vol. 3, pp. 1414-1418: IEEE.
- [32] M. H. R. Moghaddam, A. Sedighi, S. Fasihi, and M. K. Firozjaei, "Effect of environmental policies in combating aeolian desertification over Sejzy Plain of Iran," *Aeolian Research*, vol. 35, pp. 19-28, 2018.
- [33] Q. Weng, M. K. Firozjaei, A. Sedighi, M. Kiavarz, and S. K. Alavipanah, "Statistical analysis of surface urban heat island intensity variations: A case study of Babol city, Iran," *GIScience & Remote Sensing*, vol. 56, no. 4, pp. 576-604, 2019.
- [34] S. A. Mousavi Maleki, H. Hizam, and C. Gomes, "Estimation of hourly, daily and monthly global solar radiation on inclined surfaces: Models re-visited," *Energies*, vol. 10, no. 1, p. 134, 2017.
- [35] J. A. Duffie and W. A. Beckman, *Solar engineering of thermal processes*. John Wiley & Sons, 2013.
- [36] A. Mousivand, W. Verhoef, M. Menenti, and B. Gorte, "Modeling top of atmosphere radiance over heterogeneous non-Lambertian rugged terrain," *Remote Sensing*, vol. 7, no. 6, pp. 8019-8044, 2015.
- [37] C. Proy, D. Tanre, and P. Deschamps, "Evaluation of topographic effects in remotely sensed data," *Remote Sensing of Environment*, vol. 30, no. 1, pp. 21-32, 1989.
- [38] L. Xin, T. Koike, and C. Guodong, "Retrieval of snow reflectance from Landsat data in rugged terrain," *Annals of Glaciology*, vol. 34, no. 1, pp. 31-37, 2002.
- [39] R. Richter, T. Kellenberger, and H. Kaufmann, "Comparison of topographic correction methods," *Remote Sensing*, vol. 1, no. 3, pp. 184-196, 2009.
- [40] S. Hantson and E. Chuvieco, "Evaluation of different topographic correction methods for Landsat imagery," *International Journal of Applied Earth Observation and Geoinformation*, vol. 13, no. 5, pp. 691-700, 2011.
- [41] R. G. Allen, R. Trezza, and M. Tasumi, "Analytical integrated functions for daily solar radiation on slopes," *Agricultural and Forest Meteorology*, vol. 139, no. 1, pp. 55-73, 2006.
- [42] Q. Liu, G. Liu, C. Huang, S. Liu, and J. Zhao, "A tasseled cap transformation for Landsat 8 OLI TOA reflectance images," in *Geoscience and Remote Sensing Symposium (IGARSS), 2014 IEEE International*, 2014, pp. 541-544: IEEE.
- [43] Q. Liu, G. Liu, C. Huang, and C. Xie, "Comparison of tasseled cap transformations based on the selective bands of Landsat 8 OLI TOA reflectance images," *International Journal of Remote Sensing*, vol. 36, no. 2, pp. 417-441, 2015.
- [44] J. P. Walawender, M. Szymanowski, M. J.

- Hajto, and A. Bokwa, "Land surface temperature patterns in the urban agglomeration of Krakow (Poland) derived from Landsat-7/ETM+ data," *Pure and Applied Geophysics*, vol. 171, no. 6, pp. 913-940, 2014.
- [45] J. C. Jiménez-Muñoz, J. A. Sobrino, D. Skoković, C. Mattar, and J. Cristóbal, "Land surface temperature retrieval methods from Landsat-8 thermal infrared sensor data," *IEEE Geoscience and Remote Sensing Letters*, vol. 11, no. 10, pp. 1840-1843, 2014.
- [46] X. Yu, X. Guo, and Z. Wu, "Land surface temperature retrieval from Landsat 8 TIRS—Comparison between radiative transfer equation-based method, split window algorithm and single channel method," *Remote Sensing*, vol. 6, no. 10, pp. 9829-9852, 2014.
- [47] J. C. Jiménez-Muñoz and J. A. Sobrino, "A generalized single-channel method for retrieving land surface temperature from remote sensing data," *Journal of Geophysical Research: Atmospheres*, vol. 108, no. D22, 2003.
- [48] J. A. Sobrino, J. C. Jiménez-Muñoz, and L. Paolini, "Land surface temperature retrieval from LANDSAT TM 5," *Remote Sensing of environment*, vol. 90, no. 4, pp. 434-440, 2004.
- [49] J. C. Jiménez-Muñoz, J. Cristóbal, J. A. Sobrino, G. Soria, M. Ninyerola, and X. Pons, "Revision of the single-channel algorithm for land surface temperature retrieval from Landsat thermal-infrared data," *IEEE Transactions on Geoscience and Remote Sensing*, vol. 47, no. 1, pp. 339-349, 2009.



Propose a Variance-based Model for Normalizing Satellite Images-Derived Land Surface Temperature Relative to Environmental Parameters

Mohammad Karimi Firozjaei¹, Majid Kiavarz^{2}, Seyed Kazem Alavi Panah³, Saeid Hamzeh⁴, and Yoann Malbeteau⁵*

1- Ph.D. student of Remote Sensing and GIS, Department of Remote Sensing and GIS, University of Tehran

2- Assistant professor in Department of Remote Sensing and GIS, University of Tehran

3- Professor in Department of Remote Sensing and GIS, University of Tehran

4- Associate professor in Department of Remote Sensing and GIS, University of Tehran

5- Postdoctoral researcher in Water Desalination and Reuse Center, King Abdullah University of Science and Technology

Abstract

Normalization of the surface temperature relative to environmental parameters is essential in scientific studies and urban and non-urban areas management. The aim of the current study is to propose a variance-based model for normalization of the surface temperature relative to environmental parameters. For this aim, Landsat 8 satellite bands, MODIS water vapor product, and ASTER digital elevation model were used. In this study, topography parameters, downward radiation on the surface, albedo, environmental lapse rate, vegetation and biophysical characteristics of the surface were considered as environmental parameters. Single channel algorithm was used for surface temperature calculation, and also an improved Coolbaugh model was suggested for modeling the downward solar radiation. Additionally, for modeling of albedo, environmental lapse rate and biophysical characteristics, a combination of Landsat 8 reflective bands, the digital elevation model, and tasseled cap transformation were exploited, respectively. Finally, the least square method was used to calculate the unknown coefficients of each parameter in the proposed normalized model, in order to minimize the variance of the land surface temperature image. Coefficient correlation indexes and RMSE were used for accuracy assessment between the modeled and observed surface temperature values. Also the variance of normalized surface temperature image was used to estimate the proposed model capability. The results indicate that downward radiation on the surface parameter and both the elevation and greenness parameters, had the highest and the lowest effects on the surface temperature variation. The coefficient correlation and RMSE between the modeled and observed surface temperatures are 0.97 and 1.53, respectively and the variance of normalized surface temperature values is equal to 0.79. Results of the current study implied the high efficiency of the proposed model for normalizing the land surface temperature relative to environmental parameters.

Key words: normalization; land surface temperature; environmental parameters; variance-based.